

مطالعات زمین‌شناسی، کانی‌شناسی و ژئوشیمی در کانی‌سازی آهن منطقه تویه‌دروار، دامغان

زهرا لطفی^{۱*}، علی اکبر حسن نژاد^۲، سید محمود حسینی نژاد^۲

۱- کارشناسی ارشد زمین‌شناسی اقتصادی، دانشگاه دامغان

۲- استادیار زمین‌شناسی اقتصادی، دانشگاه دامغان

۱۳۹۳/۸/۲۳ پذیرش مقاله:

۱۳۹۳/۱۱/۲۵ تأیید نهایی مقاله:

چکیده

معدن سنگ آهن تویه دروار در فاصله ۴۵ کیلومتری شمال غرب دامغان، در بخش جنوب خاوری چهارگوش کیاسر قرار دارد. کانه‌زایی آهن به صورت توده‌ای همراه با رگه‌های کلسیت و سیلیس در سنگ‌های میزان کربناته با سن ترباس تشکیل شده است. کانه اولیه و اصلی این کانسار مگنتیت بوده است که هماتیت دگرسان شده است. داده‌های ژئوشیمیایی کانسنگ نشان می‌دهد عیار آهن از ۳۴ تا ۸۸ درصد وزنی در تغییر است. بررسی‌های صحرایی نشان می‌دهند که سامانه‌های گسلی، درز و شکاف‌ها به عنوان مسیر حرکت سیالات کانه‌دار عمل کرده‌اند. بر اساس شواهد ساخت و بافت، داده‌ای ژئوشیمیایی از جمله بالا بودن مقادیر فسفر، تیتانیوم و وانادیوم، همبستگی مثبت آهن با وانادیوم ($r=0.80$) و بی‌هنجاری مثبت Ce، می‌توان گفت که احتمالاً سیال کانه ساز منشأ ماقمایی دارد و توده گرانیتوئیدی تویه به عنوان منشأ فلزات و موتور حرارتی عمل کرده است و کانسار آهن تویه دروار به صورت متاسوماتیزم در داخل سنگ میزان کربناته رخ داده است.

واژه‌های کلیدی : تویه‌دروار، زمین‌شیمی، سیال ماقمایی، کانسار آهن، کانه‌زایی

(خانعلیزاده، ۱۳۸۴)، بیانگر وجود ماغماهای اسیدی با ترکیب آلکالان در منطقه است. عیار آهن در کانسارهای ماغماهای معمولاً کمتر از ۶۰ درصد و عیار فسفر آنها در حدود ۲ درصد است. عیار گوگرد در آن‌ها پایین و کمتر از ۵ درصد است. شکل کانسار بیشتر رگه‌ای و عدسی مانند و معمولاً در مجاورت سنگ‌های نیمه قلیابی خاکی است و یا میان انواع فرآورده‌های نفوذی کمپلکس جای دارد. نفوذی‌های زاینده سنگ آهن، سن‌ها و ترکیب‌هایی گوناگون دارند. ترکیب آن‌ها ممکن است گرانیت، کراتوفیر، آپلیت، سینیت و غیره باشد. تمام این کانسارها دارای تیتانیون زیاد است و تیتانیوم یا بصورت تیتانومانیتیت، همراه یا بدون تیغک‌های مربوط به تفکیک کانی و یا بصورت ایلمنیت همراه مانیتیت خالص ظاهر می‌شود. در این کانسارها غالباً مقداری وانادیوم نیز وجود دارد که به طور محلی ممکن است قابل استخراج باشد. منطقه تویه‌دروار در شمال‌باختری دامغان دارای ذخایر بسیار بالرزشی از نهشته‌های اکسیدی آهن (مگنتیت و هماتیت) در درون سنگ‌های روسوبی است و مطالعات زمین‌شناسی این ذخایر در شناخت نوع، جایگاه سنگ شناختی- تکتونیکی و پی‌جوبی ذخایر پنهان دارای اهمیت فوق العاده‌ای است. این مقاله می‌کوشد تا با معرفی نهشته آهن در این منطقه و با استفاده از داده‌های جدید مطالعات صحرایی و کانی‌شناسی، سنگ‌شناسی، دگرسانی و ژئوشیمیایی به روشن شدن مسایلی چون شرایط تشکیل کانسار و تحولاتی که پس از تشکیل در آن به وقوع پیوسته و در نهایت ژنز کانسار کمک نماید.

مواد و روش‌ها

با توجه به اینکه بررسی ویژگی‌های کانی‌شناسی، بافتی و ژئوشیمیایی زون آهن‌دار و شناخت هرچه

مقدمه

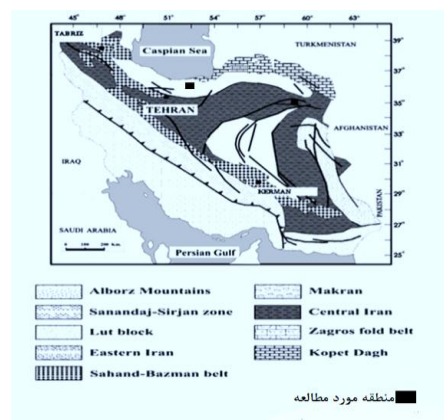
ذخایر معدنی، تأثیر مهمی در استقلال صنعتی و تولید ناخالص داخلی کشورها دارند. ایران از جمله کشورهایی است که از دیرباز به داشتن منابع معدنی متنوع فلزی و غیر فلزی شهرت داشته است. تنوع سنگ‌شناسی، موقعیت تکتونیکی و قرارگیری بر روی نوار کوهزاپی آلپ- هیمالیا از جمله عواملی است که شرایط مطلوبی را برای تشکیل و تمرکز مواد معدنی در ایران زمین فراهم نموده است. تاکنون بیش از ۲۰۰ کانسار و نشانه معدنی آهن در ایران شناسایی شده است که در مجموع ذخایر آنها به بیش از چهار میلیارد تن سنگ‌آهن می‌رسد. عیار آهن در این ذخایر، از ۵۵ تا ۶۰ متغیر است. کانسارهای آهن به اشکال مختلف ماغماهی، پگماتیتی، گرمابی و رسبوبی ظاهر می‌شوند که در این میان کانسارهای نوع رسبوبی و ماغماهی از اهمیت بیشتری برخوردار هستند. کانسارهای ماغماهی در مقایسه با کانسارهای رسبوبی، تا اندازه‌ای کمیاب‌ترند و بیشتر در پیوند با سنگ‌های سینیتی‌اند و همراه با آن‌ها یافت می‌شوند. کانسارهای ماغماهی اکسید آهن از ماغماهایی با ترکیب مشخص و در محیط‌های تکتونیکی خاص تشکیل می‌شوند (هیتزمن، ۲۰۰۰؛ هیتزمن و همکاران، ۱۹۹۲؛ کوریو، ۲۰۰۰ لفبور، ۱۹۹۵). این ماغماها از نظر ترکیب شیمیایی در محدوده کالک آلکالان تا آلکالان (جانسون، ۲۰۰۰؛ هارلو و همکاران، ۲۰۰۲؛ فریتز، ۱۹۷۸؛ نسلوند و همکاران، ۲۰۰۰؛ بارتون و جانسون، ۲۰۰۰) و در محیط‌های تکتونیکی کششی که در امتداد حاشیه قاره و مرتبط با ماغماتیسم غیرکوهزاپی درون قاره‌ای و یا بعد از کوهزاپی درون قاره‌ای می‌باشند (هیتزمن و همکاران، ۱۹۹۲)، واقع می‌شوند. آنالیزهای ژئوشیمیایی سنگ‌های آذرین ناحیه تویه‌دروار

کانی‌شناسی و بافت ماده معدنی در ارتباط با باطله به دقت مورد مطالعه قرار گرفت. ۶ نمونه نیز به روش XRD کانی‌شناسی شده است. به منظور تعیین ویژگی‌های کانسنگ آهن و سنگ‌های فراگیر و آگاهی از نحوه زایش آهن، تعداد ۲۰ نمونه معرف انتخاب شده و به آزمایشگاه شرکت EPMA (تجزیه شیمی بلور) و XRF (تجزیه ترکیب شیمیایی) مورد آنالیز قرار گرفت. لازم به یادآوری است که این تنوع در روش‌های تجزیه و نمایش نتایج آن می‌تواند در امر شناخت کانسنگ، ویژگی‌های مختلف شیمی بلور آن بسیار ارزشمند باشد و در مواردی، بررسی دقیق ارتباط بین فازهای کانیایی درگیر در کانسنگ و نیز گانگ، به بهینه‌سازی روش‌های کانه آرایی منجر شود.

نتایج

۹ دقیقه تا ۳۶ درجه شمالی در بخش جنوب خاوری برگه ۱:۱۰۰۰۰۰ کیاسر و در قسمت شرقی پهنه ساختاری البرز مرکزی واقع شده و دارای تاریخچه تحولات زمین‌شناسی این زون ساختاری است (شکل ۱).

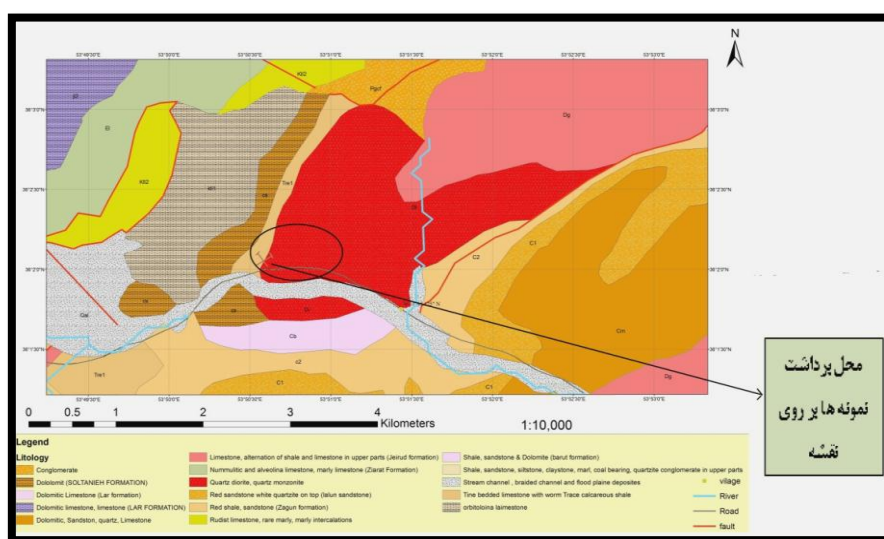
بیشتر کانسنگ آهن در امر فرآوری مواد معدنی و نیز مشخص شدن روند ژنتیک و الگوی اکتشافی آن نقش بسزایی دارد، در این پژوهش کانسنگ آهن مگنتیتی تویه‌دروار از نگاه کانه‌نگاری، شیمی بلور و ژئوشیمی مورد توجه خاص قرار گرفته و سعی شده است افزون بر بررسی دقیق کانی‌شناسی فازهای اصلی کانسنگ آهن، به الگوی تمرکز عناصر کمیاب در شبکه کانی‌های کانسنگ آهن در کانسار پرداخته شود. در این راستا، ۷۵ نمونه شاخص از کانسنگ مگنتیتی، سنگ میزان کربناتی و سنگ‌های آذرین به صورت هدفمند در امتداد ۵ پیمایش طولی و عرضی و بر اساس تغییرات سنگ‌شناسی برداشت شد. مطالعات پتروگرافی و مینرالوگرافی با استفاده از ۲۵ میکروسکوپ‌های انکساری و انعکاسی بر روی عدد بلوك صیقلی، ۲۹ عدد مقطع نازک و نازک-صیقلی در دانشگاه دامغان انجام شد و ویژگی‌های زمین‌شناسی منطقه معدنی: ذخیره معدنی مورد مطالعه در ۴۵ کیلومتری شمال‌غرب دامغان، در شمال روستای تویه‌دروار مابین طول های جغرافیایی ۵۳°۱۴' و ۵۳°۰۹' و ارتفاعی ۳۶ درجه و ۱۳ دقیقه شرقی و عرض‌های



شکل ۱: موقعیت منطقه مورد مطالعه بر روی نقشه ساختاری ایران (نبوی، ۱۳۵۵)

با صخره و پرتگاه‌های خطرناک است، به نظر می‌رسد که فعالیت‌های تکتونیکی در منطقه به طور گستردگی عمل کرده است به همین دلیل دارای مورفولوژی و توپوگرافی متنوعی است به طوری که در بعضی از مناطق پیمایش به سختی صورت می‌گیرد. شیب عمومی لایه‌ها در این ناحیه به سمت جنوب شرق و امتداد لایه‌ها شرقی- غربی است. بر اساس نقشه ۱:۱۰۰۰۰۰، منطقه کانی‌سازی شده از سنگ‌هایی با طیف سنی پر کامبرین تا کامبرین (دولومیت و شیل)، کامبرین پیشین، ماسه سنگ قرمز (سازند زاگون، لالون)، کامبرین میانی تا بالایی (سازند میلا)، تریاس زیرین تا اوایل تریاس فوقانی (آهک ورمیکوله)، ژواراسیک فوقانی تا اوایل نئوکومین (آهک‌های صخره ساز و میکروفسیلدار)، پالئوسن تا اوسن میانی (کنگلومرای فجن) رخمنون دارند. همچنین سنگ‌های آذرین نفوذی نیمه عمیق با ترکیب سینیت کوارتزدار مربوط به تریاس میانی- فوقانی با وسعت بالایی در مجاورت توده معدنی برونزد دارند. از مشخصات صحرایی بارز توده آذرین، ظاهر تیره و مورفولوژی هموار آن می‌باشد (شکل ۲).

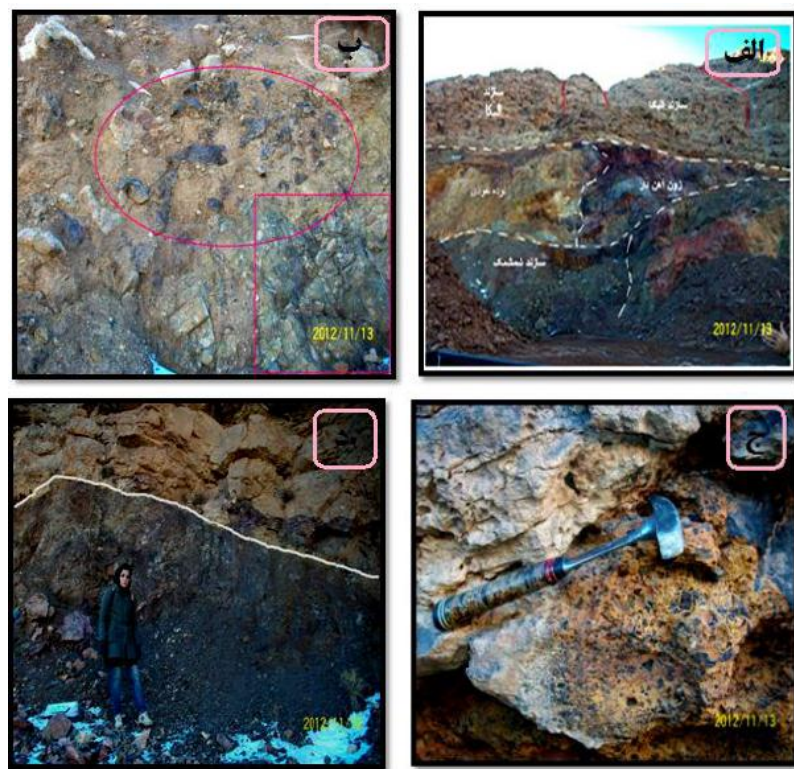
در این منطقه اگرچه ردیف‌های رسوبی، از قدیم به جدید وجود دارد ولی هیچگاه این ردیف‌ها منظم نبوده و پدیده‌های زمین ساختی باعث بر هم زدن این ردیف و یا حذف آن گردیده است. سنگ‌های مربوط به سازند بایندر، نه در تماس با سلطانیه قابل دیدن است و نه در تماس با سازند کهر. آنچه مسلم است، سازند بایندر در منطقه وجود داشته ولی راندگی‌های پیاپی ورقه‌های مختلف، باعث پوشیده شدن این سازند شده است. بخش‌های زیرین سازند سلطانیه نیز در هیچ نقطه از منطقه مورد مطالعه دیده نمی‌شود. مرز پایینی سازند شمشک نیز به درستی مشخص نیست و احتمالاً در معرض راندگی قرار گرفته و بخش‌های زیادی از آن حذف شده است. منطقه مورد مطالعه دارای عناصرزمین ساختی همچون گسل‌های آستانه، توبه و درواز با فعالیت آشکار در کواترنری است. دگرشکلی شکننده و گسل‌ها نقش اساسی در تکوین این منطقه دارند و لایه‌های چین خورده محدود به گسل‌ها هستند (خانعلی زاده، ۱۳۸۴). ژئومورفولوژی منطقه متأثر از آب و هوا، جنس سنگ‌ها و فعالیت‌های تکتونیکی است. شامل تپه‌هایی با شیب ملایم تا نسبتاً زیاد و کوه‌های مرتفع



شکل ۲: نقشه منطقه توبه درواز با مقیاس ۱:۱۰۰۰۰

(جلیلی و طلایی، ۱۳۹۱). همچنین عملکرد گسل‌ها، به خصوص انواع تراستی و فشارهای تکتونیکی ناشی از آن سبب ایجاد درز و شکاف‌های زیاد در این توده شده است. روراندگی موجود در منطقه باعث رانده شدن سازند الیکا بر روی سازند شمشک شده است و با توجه به اینکه توده نفوذی و ماده معدنی در مجاورت هم قرار دارند و در رأس سازند الیکا تزریق شده اند، نشانگر آنست که توده نفوذی برخلاف گزارش‌های قبلی مبنی بر نفوذ در سازند سلطانیه (خانعلی زاده، ۱۳۸۴)، در سازند الیکا نفوذ کرده است و دارای سن ترباس میانی‌بالایی می‌باشد (شکل ۳-الف).

دارای حاشیه انجماد سریع، تیره‌تر و ریزدانه است و به تدریج به سمت داخل توده دانه درشت‌تر و حتی در بعضی قسمت‌ها به دلیل تفریق، روشن‌تر می‌شود. در بخش‌هایی از این توده، دایک‌های پگماتیتی که به مراحل انتهایی فاز تأخیری مربوط هستند دیده می‌شود. از دیگر مشخصات صحرایی بارز توده می‌توان به فرسایش پوست پیازی اشاره نمود. انکلاوهای موجود در حاشیه توده گرد شدگی خوبی دارند که اندازه آن‌ها بین ۱ تا ۲۰ سانتی متر در حال تغییر است. جنس انکلاوهای از خود توده می‌باشد، هرچه به توده نزدیکتر می‌شوند از میزان انکلاوهای کاسته می‌شود و نشان دهنده فاصله گرفتن از حاشیه توده می‌باشد.



شکل ۳: (الف) نمایی از ماده معدنی و سنگ میزبان. (ب) رخنمون ماده معدنی در منطقه مورد مطالعه. (ج) بافت برشی و هاله واکنشی از آهن (که گویای نفوذ آهن در سنگ‌های دربرگیرنده است). (د) مرز ناپیوسته سنگ میزبان و ماده معدنی.

کانسار آهن نشان می‌دهد که کلسیت و دولومیت کانی‌های اصلی (بین ۸۵-۹۰ درصد) و هماتیت و کوارتز (بین ۱۵-۲۰ درصد) این سنگ‌ها را تشکیل می‌دهند. در سنگ‌های دولومیتی سیلیسی شده میزبان کانسار، سیلیس به شکل ریزدانه و رگچه‌ای در متن سنگ و به شکل رگه‌ای در منطقه کانه-زایی قابل مشاهده است. سیلیسی شدن سنگ میزبان موجب آماده سازی زمینه (Ground Preparation) کانه‌زایی شده است که با افزایش قابلیت خردشده‌گی سنگ تحت تأثیر نیروهای تکتونیکی و در نتیجه افزایش تراوایی سنگ میزبان همراه است. با توجه به مطالعات سنگ-نگاری واحدهای پلوتونیکی منطقه را نیز می‌توان به ۳ گروه اصلی کوارتزمونزوندیوریت، کوارتزمونزونیت و مونزونیت تقسیم کرد.

کوارتز مونزوندیوریت: کانی‌های اصلی تشکیل دهنده کوارتز مونزونیت‌ها پلاژیوکلاز، آلکالی فلدسپار و کوارتز می‌باشد. در این نمونه بافت‌های گرانولار، گرافیکی و میرمکیتی قابل مشاهده هستند. آلکالی فلدسپارها به شکل بلورهای شکل-دار و نیمه شکل‌دار و در اندازه‌های ۱ تا ۲ میلیمتر حضور دارند. از شاخه‌های مهم آن می‌توان به بافت پرتیتی و تجزیه به سرسیت اشاره نمود. بلورهای کوارتز که در مراحل پایانی تبلور ماقماً، متبلور شده‌اند به صورت بی‌شکل فضای میان سایر بلورهای شکل‌دار را پر کرده است. پلاژیوکلاز به صورت تیغه‌ای، تخته‌ای، ایدیومورف و نیمه شکل‌دار با اندازه‌ای حدود ۱ تا ۳ میلیمتر در تغییر است. ترکیب شیمیایی پلاژیوکلاز با توجه به اندازه گیری‌های به عمل آمده با استفاده از روش میشل لوی در حد الیگوکلاز تا آندزین تعیین شده است. منطقه بندی ترکیبی از ویژگی‌های این پلاژیوکلاز است که تأیید کننده تبلور سریع (عمق کم نفوذ توده) می‌باشد و پلاژیوکلازها

مطالعات چینه‌نگاری و مشاهده آهک‌های توده‌ای با زیست آشفتگی شدید (Vermiculate) در پیمایش‌های صحرایی و مشاهده آهک‌های میکروفیل‌دار (گاستروپودا و پلسی پودا) در مقیاس میکروسکوپی نیز تأییدی بر اینست که سنگ میزبان کانه‌زایی واحدهای کربناته‌ای است که تحت تأثیر نفوذ سیالات کانه‌دار قرار گرفته و به شکل رخنمون‌های بزرگ در مشاهدات صحرایی قابل تشخیص است. کانی‌سازی آهن در این منطقه به صورت توده‌ای و عموماً از جنس مگنتیت و هماتیت است. بررسی‌های بافتی و ساختی در ناحیه نشان می‌دهد که ماده معنی از توده گرانیت‌ویتدی منشأ گرفته و در سنگ‌های کربناته میزبان نفوذ کرده است. توده نفوذی در منطقه به عنوان منشأ فلزات و موتور حرارتی عمل کرده و سبب چرخش سیالات از داخل رسوبات شده است. این فرایند باعث رانده شدن سیالات آهن‌دار به داخل سنگ‌های رسوبی شده و موجب کانه‌زایی آهن در درون شکستگی‌ها و سیستم‌های گسله به صورت متاسوماتیزه شده است. در این راستا، گسل‌های منطقه نیز به عنوان گذرگاه‌هایی برای عبور و انتشار سیالات، با کانه‌زایی مرتبط می‌شوند. تأمین کننده اصلی عناصر کانه‌ساز، سیالات ناشی از فرایندهای تفریق و تبلور بوده است. حضور آهن برشی شده در ارتباط با سنگ میزبان نشانگر ورود سیال کانه‌زا به درون سنگ-های میزبان در امتداد فضاهای کششی است (شکل ۳-ج).

پتروگرافی: به منظور بررسی دقیق واحدهای سنگی رخنمون یافته در منطقه توبه دروار از نظر ویژگی‌های کانی‌شناختی و بافتی، نمونه‌برداری از سنگ میزبان، توده نفوذی و کانسنگ آهن انجام و نمونه‌ها مورد مطالعه میکروسکوپی قرار گرفتند. مطالعه مقاطع نازک و نازک-صیقلی سنگ میزبان

فرعی این سنگ را تشکیل می‌دهند. اسفن‌های ثانویه حاصل واکنش TiO_2 آزاد شده از کانی‌های آهن و منیزیم‌دار (بیوتیت) و تیره (اکسید آهن-تیتان) با CaO حاصل از تخریب پلازیوکلاز و SiO_2 موجود در محیط می‌باشند.

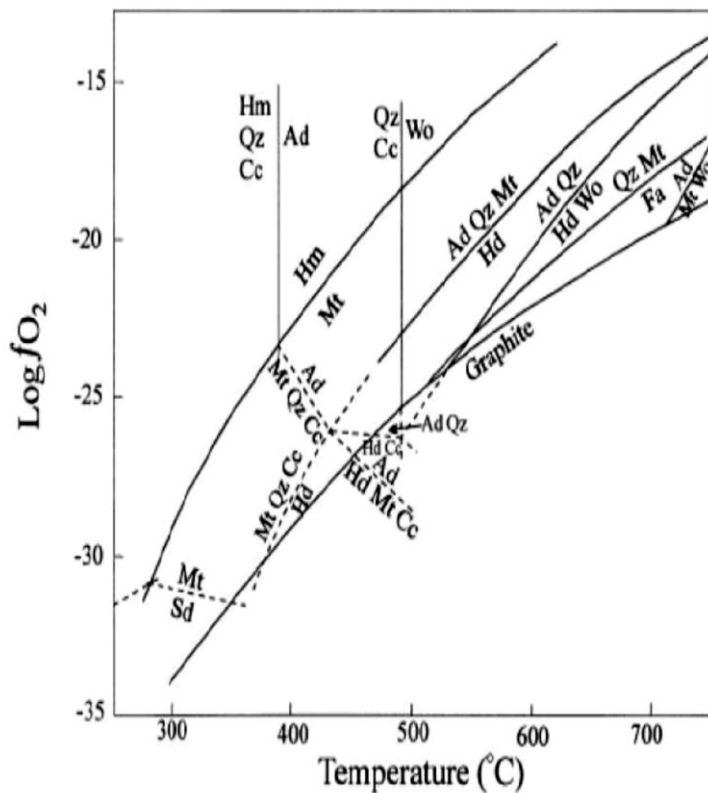
مونزونیت: این سنگ‌ها بخش روشن و تفریق یافته توده را شامل می‌شوند. بافت چیره هیپیدیومورف گرانولار می‌باشد. در نمونه‌های مونزونیتی، کانی اصلی پلازیوکلاز درشت بلور است که خمیره سنگ را تشکیل داده است. منطقه‌بندی نوسانی از ویژگی‌های این پلازیوکلاز است. کانی‌های ثانویه شامل بیوتیت، زیرکن، آپاتیت، اسفن، کلسیت، کانی رسی و سرسیت است.

مطالعات کانه‌نگاری کانه‌های اولیه

مگنتیت: مطالعه مقاطع صیقلی نشان می‌دهد که کانسار آهن تویه‌دوروار دارای ترکیب کانی‌شناسی ساده‌ای بوده و مگنتیت کانی اصلی سنگ آهن تویه‌دوروار را تشکیل می‌دهد. این کانه در مرحله اکسیداسیون دما بالا تشکیل شده است. مگنتیت در درجه حرارت بالا حاوی هماتیت به شکل محلول در خود بوده و به هنگام افت دما باعث تشکیل هماتیت به شکل خطوط مارتیت در جهات کریستالوگرافی آن شده است. در فوگاسیته اکسیژن حد اکثر $^{25} - 10$ فعالیت آهن به عنوان فرآیند کانی‌شناسی توسعه یافته افزایش می‌باشد (گرگ و واگون، ۱۹۹۴). طبق دیاگرام $\log fO_2$ در شکل ۴، به دلیل حضور Fe^{2+} در ترکیب شیمیایی مگنتیت، این کانی در فوگاسیته اکسیژن کمتری نسبت به هماتیت پایداری از خود نشان می‌دهد.

اکثراً به سرسیت و کلسیت تجزیه شده‌اند. منطقه‌بندی یک الگوی منظم از تغییرات شیمیایی، در کانی‌های محلول جامد می‌باشد و نشان دهنده واکنش‌های متوالی ناقص بین بلورهای محلول جامد با مذاب‌های در برگیرنده می‌باشد. واکنش‌های متوالی ناقص بین بلوری باعث تغییر ترکیب بلور از مرکز تا حاشیه می‌شوند. در واقع، منطقه‌بندی شاهدی برای تبادل انتشار یونی بسیار کنندگان $NaAlSi$ و Ca در طی تبلور کانی می‌باشد. از بارزترین و فراوان‌ترین کانی‌های فرعی موجود در این سنگ آپاتیتها می‌باشند که به صورت سوزن‌های کشیده‌ای دیده می‌شوند که از تبلور سریع و موضعی ماغمای مافیک داغ آمیخته شده با ماغمای فلزیک نسبتاً سردرتر تشکیل شده‌اند (هویه و دیبر، ۱۹۹۱). همراهی کانی‌های اپک با مجموعه بیوتیت‌های سبز مovid این نکته است که سیالات کانه‌زا غنی از آهن بوده و علاوه بر آزاد نمودن آهن از بیوتیت‌های اولیه، کانی‌های اپک را بر جا گذاشته‌اند.

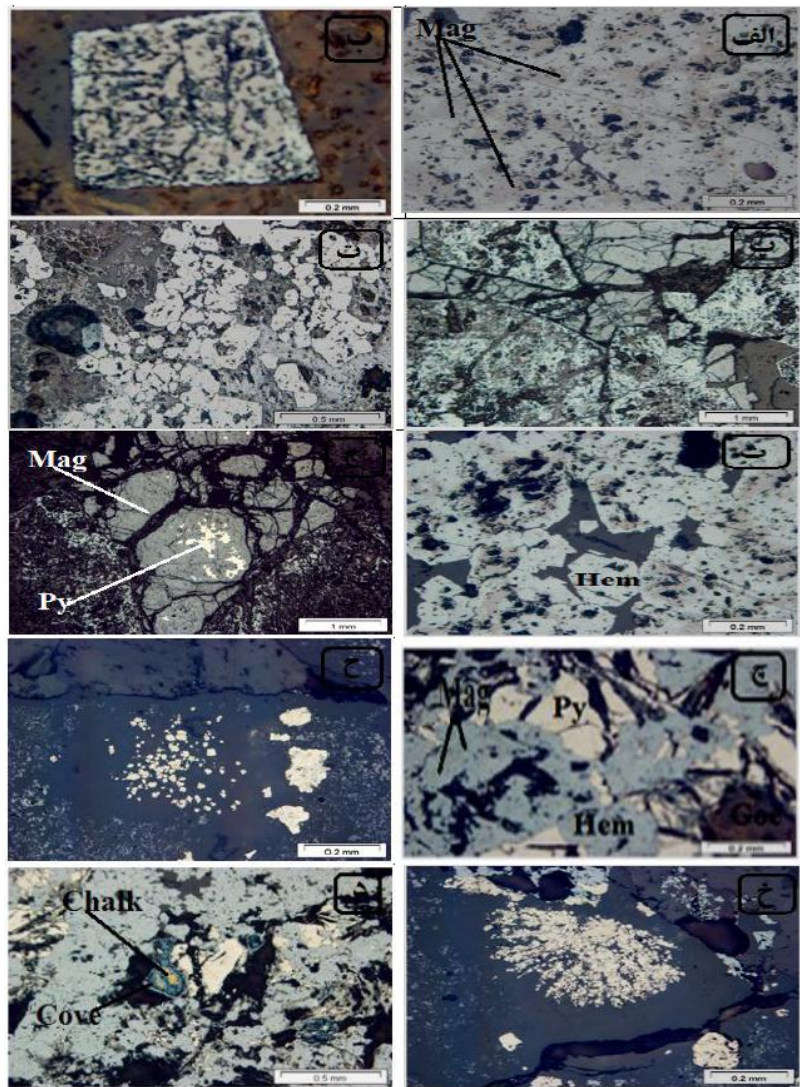
کوارتز‌مونزونیت: کوارتز‌مونزونیت‌ها در نمونه دستی و سطح شکست تازه به رنگ خاکستری دیده می‌شوند. در این سنگ‌ها پلازیوکلاز به صورت ایدیومورف و در اندازه‌های ۲ تا ۳۲ میلیمتر با ماکل پلی‌سنتیک بوده و در برخی مقاطع در حال تجزیه به سرسیت می‌باشد. آلکالی فلدسپارها غالباً در حال تجزیه به کانی‌های رسی هستند. کوارتز نیز در اندازه‌های $0/5$ تا $7/5$ میلیمتر و با درصد حجمی ۱۲ درصد با شکستگی و خاموشی موجی حاصل از فشارهای وارد شده قابل مشاهده می‌باشد. هورنبلند، بیوتیت، آپاتیت و اسفن کانی‌های



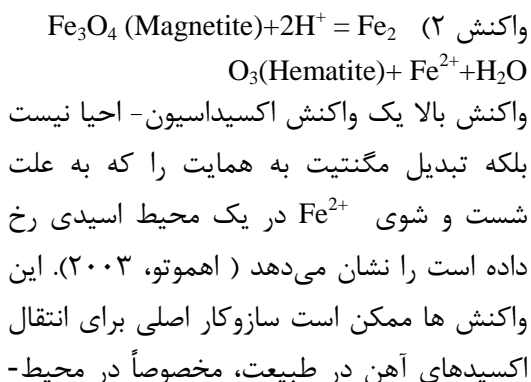
شکل ۴: نمودار $\log f_{\text{O}_2}$ در فشار ۵۰۰ بار و X_{CO_2} برای سیستم Ca-Fe-Si-C-O-H (اینادی و برت، ۱۹۸۲)

کاتاکلاستیک تشکیل می‌شود. اثرات اکسیداسیون مگنتیت به هماتیت، گوتیت و لیمونیت در امتداد شکستگی‌ها و ترک‌های توده‌هایمعدنی فراوان است. اکسیداسیون مگنتیت به هماتیت در زیر میکروسکوپ به صورت جانشینی منطقه‌ای با هسته‌هایی از مگنتیت باقی مانده به شکل منطقه‌بندی (مارتیتی‌شدن) قابل مشاهده است (شکل ۵-الف، ث).

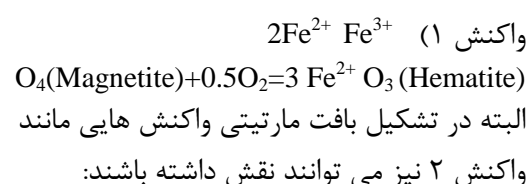
عمده‌ترین بافت‌های مشاهده شده در مگنتیت، بافت‌های گرانولار، برشی (کاتاکلاستیک)، مارتیتی و جانشینی است. بافت کاتاکلاستیک از قطعات بلورین پودری تا چند سانتی متری تشکیل شده است. (ردمن و ریلی، ۱۹۷۰)، بر این باورند که به دلیل افزایش اکسیژن در محتوی ثابت کاتیون، بلورهای مگنتیت در واحد حجم، طی فرایند اکسایش در دمای پایین افزایش می‌یابند و بافت



شکل ۵: (الف) پدیده مارتیزاسیون و تبدیل مگنتیت به هماتیت، (ب) مگنتیت خودشکل مارتیتی شده، (پ) مگنتیت با بافت کاتاکلاستیک، (ت و ث) هماتیت جانشین شونده در قالب مگنتیت، (ج) تأخیری بودن مگنتیت نسبت به پیریت، (ج) جانشینی دروغین پیریت به وسیله هماتیت، (ح) پیریت بافت افشار، (خ) پیریت برشی شده، (د) تبدیل کالکوپیریت به کوولیت



مارتیتی شدن به عنوان یک فرایند بعد از تشکیل کانی، اغلب در حواشی دانه‌ها و امتداد سطوح رخ معمول است و طبق واکنش ۱ به وقوع می‌پیوندد (ماکه و کابرال، ۲۰۰۵).



(شکل ۵-ج). پیریت‌های نوع دوم در مقاطع به صورت کاملاً خود شکل و یوهدرال دیده می‌شوند (شکل ۴-ح). این نوع پیریت‌ها، همان پیریت‌های نسل اول هستند ولی چون فضای کافی برای رشد داشته‌اند به صورت کاملاً خود شکل تشکیل شده‌اند (رامدهور ۱۹۸۰). در مواردی در اثر فشار سیالات یا فشار دینامیکی، دانه‌های پیریت خرد شده و بافت برشی و کاتاکلاستیکی را نشان می‌دهند (شکل ۵-خ). فرآیند کششی اعمال شده در منطقه نیز بر روی پیریت اثر گذاشته و حالت گسیختگی را به وجود آورده است.

کانه‌های ثانویه

هماتیت: در بخش‌های نزدیک سطح زمین در مناطقی که کانسار رخنمون داشته و مگنتیت در معرض هوازدگی قرار گرفته، هماتیت تشکیل شده است. با توجه به بافت‌های موجود تمامی هماتیت‌ها تشکیل شده در کانسنگ از نوع ثانویه هستند و طی فرآیند مارتیتی شدن از اکسایش مگنتیت به وجود آمده‌اند. مارتیتی شدن از حاشیه دانه‌های مگنتیت و در امتداد شکستگی‌ها و سطوح رخ شروع شده و در مراحل پیشرفت‌تر در بخش‌های درونی کانه توسعه پیدا کرده است. در مواردی بخش بیشتر مگنتیت به هماتیت تبدیل و فقط آثاری از آن به صورت لکه‌هایی باقی مانده است. گاهی هماتیت‌ها کاملاً جایگزین مگنتیت شده است و سنگ دیگر هیچگونه خاصیت مغناطیسی ندارد. در این حالت ساختمان داخلی مگنتیت با حفظ رخ‌های اکتائدری حفظ شده‌اند.

گوتیت: پایدارترین کانی اکسیدی آهن‌دار گوتیت می‌باشد که بر اثر پدیده انحلال و اکسیداسیون سطحی، قسمت اعظم کانی‌های سولفیدی در زون اکسیدان دچار انحلال شده، یون گوگرد آن از محیط خارج و هیدروکسیدهای آهن بر جای مانده‌اند. گوتیت در منطقه عمدتاً به صورت بی-

های گرمابی باشند. اگر تبدیل مگنتیت به هماتیت در اثر واکنش‌های اکسیداسیون- احیا رخ داده باشد و کانی پیریت هم در محل حضور داشته باشد تماماً به هماتیت اکسیده می‌شوند، زیرا در شرایطی که کانی مگنتیت می‌تواند به هماتیت اکسیده شود حتماً کانی پیریت نیز با شدتی بیشتر از مگنتیت اکسیده می‌شود (کامی و اهموتو، ۲۰۰۰). مارتیتی شدن به میزانی گسترده در کانسار تویه دروار دیده می‌شود (شکل ۵-ج). نمونه‌ای از بافت مارتیتی شدن را نشان می‌دهد. در این مقاطع مشاهده می‌شود که کانی مگنتیت به هماتیت تبدیل شده است و دانه‌های پیریت نیز به هماتیت تبدیل شده‌اند و این با رابط ۱ قابل تفسیر است. بر اساس نظر بابکی (۱۳۸۳)، بافت توده‌ای در مگنتیت بیانگر غلظت بالای یون آهن نسبت به اسید سیلیسیلیک می‌باشد و بافت گرانولار از لحاظ ترمودینامیکی بیانگر فشار و دمای مناسب تبلور می‌باشد (پورخاک، ۱۳۸۲). مگنتیت در نمونه‌های گرفته شده از اندیس تویه دروار در نور پلاریزه به رنگ قهوه‌ای کمرنگ دیده می‌شود. این رنگ طبق نظر رامدهور (۱۹۸۰) به دلیل خارج نشدن Ti از شبکه مگنتیت به صورت بروون رستی و به دلیل سرد شدن سریع سیال حاوی اکسید آهن است.

پیریت: بر اساس مطالعات مینرالوگرافی صورت گرفته، دو نوع پیریت در کانسار تویه دروار مشخص شده است. نسل اول کانی پیریت به صورت بلورهای بی‌شکل هستند که همراه با کانی‌های باطله در توده نفوذی و همچنین با مگنتیت در کانسنگ دیده می‌شوند. نبود اشکال بلورین مشخص در کانی پیریت و ارتباط بافتی آن با مگنتیت، بیانگر رشد همزمان آن‌هاست. به عبارتی، تشکیل این نسل از پیریت، پیش از کانی مگنتیت شروع و تا درون بلورها توسعه یافته است

نتایج داده‌های کانی‌شناسی به روش XRD، بر روی ۶ نمونه کانسنگ آهن و سنگ‌های میزبان محدوده معدنی نشان می‌دهد که نمونه‌های کانسنگ از فاز اکسیدی هماتیت، هیدروکسیدی - (گوتیت، لپیدوکروزیت)، کربناتی (کلسیت، دولومیت) تشکیل شده‌اند. سنگ میزبان آهکی - دولومیتی نیز از کانی‌های کربناتی (کلسیت، دولومیت)، اکسیدی (هماتیت)، سیلیکاتی (کوارتز، بیوتیت، کائولینیت) تشکیل شده است. سنگ‌های آذرین مونزونیتی و کوارتز مونزونیتی دگرسان شده حاوی مقادیری اسفن، آپاتیت و مقادیر ناچیزی ایلمنیت به همراه کانی‌های ثانویه کلریت، میکا، ایلیت و دیکیت هستند که در مجاورت بلافصل ماده معدنی تشکیل شده‌اند (جدول ۱).

شکل بوده و در مقیاس میکروسکوپی بافت اسکلتال (جانشینی) از خود نشان می‌دهد. لیمونیت در قسمت‌های سطحی درز و شکاف‌های درون زون اکسیدان را پر کرده و به رنگ زرد تا قهوه‌ای با جلای خاکی دیده می‌شود.

کالکوپیریت: کالکوپیریت از فازهای سولفیدی و فرعی است و در مقادیر اندک همراه با مگنتیت و کانی‌های سولفیدی دیگر مشاهده می‌شود و در برخی از مقاطع بر اثر دگرسانی از حاشیه به کوولین تبدیل شده‌اند (شکل ۵-۵). تبدیل کالکوپیریت به کوولین عمدتاً از حاشیه بلوری آغاز می‌شود (رامدهور، ۱۹۸۰).

جدول ۱: نتایج آنالیز کانی‌شناسی نمونه‌های کانسنگ، سنگ میزبان و سنگ آذرین در محدوده معدنی تویه دروار به روش X.R.D

Sample	Minerals
Host rock	Dolomite, Calcite, Biotite, Chlorite, Hematite, Kaolinite
Monzonite	Sphen, Illmenite, Montmorillonit, Chlorite, Kaolinite
Monzonite	Muscovite, Illite, Dickite, Apatite
Ore 1	Hematite, Goethite, Calcite, Lepidocrosite
Ore 2	Hematite, Goethite, Kaolinite
Ore 3	Hematite, Monazite, Apatite, Dolomite

گوتیت) در رخمنونهای صحرایی قابل تشخیص است.

رگه‌ها و رگچه‌ها: شکستگی‌های نوع استوک ورک و داربستی که قبل یا همزمان با کانه‌زایی در داخل سنگ میزبان توسعه یافته‌اند، بستر مناسبی را برای شکل گیری بسیاری از انواع رگه‌ها و رگچه‌ها فراهم آورده‌اند. این شکستگی‌ها به طور متوالی توسط سیالات کانه‌دار پر شده و تشکیل انواع رگچه‌های کوارتزی، کربناتی، اکسیدی و کربناتی- اکسیدی را داده‌اند. در منطقه رگچه‌های کربناتی: شامل کلسیت با بافت موزاییکی می‌باشد و آخرین مرحله از فاز کانی‌زایی را نشان می‌دهد. رگچه‌های

دگرسانی: بر مبنای بررسی‌های صحرایی، میکروسکوپی و دستگاه پراش پرتو ایکس دگرسانی‌های مرتبط با کانه‌زایی شامل دگرسانی آرژیلیک، سرسیتی، کلریتی، سیلیسی سولفیدی و کربناتی است. دگرسانی سیلیسی در کانسار آهن توبه دروار با افزایش سیلیس به صورت رگه‌ای در سنگ‌های درونگیر دیده می‌شود. دگرسانی سولفیدی به طور عموم با دگرسانی سیلیسی همراه است. این نوع دگرسانی با رنگ سرخ و زرد حاصل از هوازدگی سولفیدها به اکسید و هیدروکسیدهای آهن (لیمونیت، هماتیت و

نهشته می‌شوند. بلورهای کلسیت عمدتاً به صورت رگه همرا با هماتیت مشاهده می‌شود.

همبود (پاراژنز): بر اساس بررسی‌های ژئومتری و ساخت و بافت انجام شده در مقیاس صحرایی، نمونه دستی، میکروسکوپیتوالی پاراژنتیک کانی‌های منطقه تویه دروار به دو مرحله تقسیم شده است که عبارتند از:

- (الف) کانی‌سازی هیپوژن
 (ب) کانی‌سازی سوپرژن (شکل ۶).

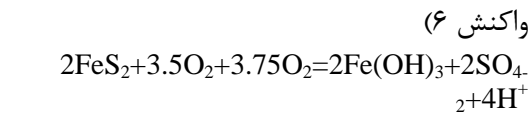
کوارتزی: فاقد هرگونه کانه‌زایی سولفیدی و اکسیدی می‌باشد. رگچه‌های کربناتی- اکسیدی: این رگچه‌ها متشکل از کانی دولومیت متوسط تا درشت بلور اغلب همراه با اکسیدهای آهن دیده می‌شود. سیالات در حین حرکت به سمت نواحی کم‌عمق‌تر و سردرت توانایی کانی‌سازی و دولومیت‌زاوی را می‌یابند. بدین ترتیب در طول و اطراف مناطق نفوذ پذیر دولومیت‌سازی روی می‌دهد. این دولومیت‌ها در دمای ۷۰ تا ۲۰۰ درجه سانتی‌گراد



شکل ۶: توالی پاراژنزی کانی‌های اکسیدی و سولفیدی اولیه و ثانویه در کانسار آهن تویه دروار

همه مهم‌تر افزایش pH در اثر مصرف H^+ و انحلال کربنات‌ها باعث ناپایداری کمپلکس‌های فلز-کلر شده و تهنشست کانسنگ اسیدی و سولفیدی را ممکن می‌سازد. مهم‌ترین تغییر شیمیایی سیال عبارتست از خنثی شدن (با افزایش pH) در اثر برخورد با کلسیت که در این حالت کمپلکس‌های عمدتاً کلریدی ناپایدار شده و محموله خود را به صورت کانسنگ اسیدی و سولفیدی بر جای گذاشته‌اند. وجود مگنتیت با بافت مارتیتی و نبود کانی‌های اسکارنی (گارنت، پیروکسن و میکا) نشان می‌دهد که دمای محلول کانه‌ساز کمتر از ۳۵۰ درجه بوده است.

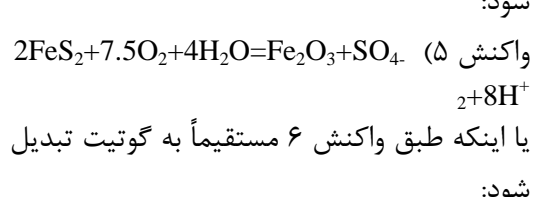
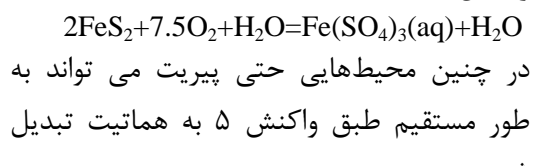
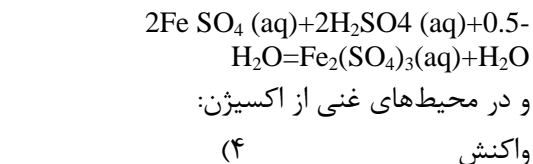
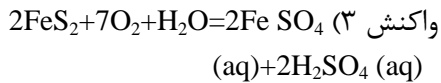
کانی‌سازی هیپوژن: در تشکیل کانسار آهن تویه دروار، سیالات کانه‌دار حاوی کمپلکس‌های کلریدی که در طی فرایند تبلور و تفریق توده نفوذی حاصل شده‌اند، پس از خروج توده و ادامه حرکت خود به سمت بالا با آب‌های زیرزمینی مخلوط شده و با ورود به سنگ میزبان کربناتی با آن واکنش داده و باعث تشکیل اکسیدها و سولفیدهای آهن شده‌اند. تغییر شرایط فیزیکی محیط حمل و نقل از جمله افت دما در اثر مخلوط شدن با آب‌های زیرزمینی و ورود به سنگ‌های کربناتی سردرت و کاهش فشار و انبساط در اثر وارد شدن سیال به منطقه برشی سنگ میزبان و از



پیریت مهم‌ترین سولفید اسید ساز محسوب می‌شود.^۳ Fe^{3+} تولید شده در طی اکسیداسیون پیریت با افزایش pH به اکسید و هیدروکسید Fe^{3+} و Fe^{2+} دیگر ترکیبات سولفاتی آهن تبدیل می‌شود. خود یک عامل اکسید کننده خیلی مهم برای سولفیدهای آهن در شرایط اسیدی است و بسیار موثرتر از اکسیژن عمل می‌کند. با توجه به اینکه سنگ میزبان سولفیدها در منطقه، سنگ‌های کربناته است می‌توان گفت که pH محلول‌های حاوی اسید سولفوریک و یون آهن در حین برخورد با این سنگ‌ها بالا رفته و سبب نهشت اکسید و هیدروکسید آهن شده است. کانی‌سازی عمده در این مرحله شامل هماتیت، گوتیت و لیمونیت می‌شود.

مطالعات ژئوشیمیایی: استفاده از مطالعات ژئوشیمیایی می‌تواند وضعیت ژنتیکی یک کانسار را مشخص سازد، چرا که عناصر مختلف در محیط‌های فیزیکوژئومیایی گوناگون، رفتارهای منحصر به فردی از خود نشان می‌دهند. مطالعه ترکیب شیمیایی و عناصر موجود در کانسنگ‌های آهن می‌تواند راه‌گشایی برای تعیین نوع سیال کانی‌ساز و شیمی اجزاء سازنده این ذخیره محسوب شود. با توجه به این که پژوهش بر روی توده نفوذی توسط (خانعلیزاده، ۱۳۸۴) صورت پذیرفته است. لذا سعی برآن شده است که بخش اعظم این پژوهش، بررسی ژئوشیمی توده معدنی و پتانسیل معدنی کانسار از نقطه نظر کانه‌زایی آهن باشد. امید است که بررسی ویژگی‌های ژئوشیمیایی عناصر در کانسار و مقایسه آن با کانسارهای شاخص دنیا در شناسایی الگوی کانسار سازی کمک شایانی نماید. نتایج شیمیایی حاصل

کانی‌سازی سوپرژن: خردشده‌گی‌ها و شکستگی‌های فراوان در سنگ میزبان موجبات گسترش دگرسانی و کانی‌سازی سوپرژن را فراهم نموده است. اکسیداسیون سولفیدها تابعی از بالا آمدگی سنگ‌ها، آب و هوا (خشک و نیمه خشک مناسب‌تر است)، ترکیب سنگ اولیه (به ویژه محتوای پیریت) و ساختارهای سنگ میزبان (از نظر گسل خوردگی و شکستگی) است. با فرض مطلوب بودن سه عامل آخر، برای اکسیداسیون سولفیدها باید شرط بین فاکتور دیگر که همان بالا آمدن توده‌های سولفیدی (در اثر فرسایش سطحی یا تکتونیک) تأمین گردد. بالا آمدگی سنگ‌ها (به علت فرسایش یا عوامل تکتونیکی) سبب می‌شود تا سطح سفره آب‌های زیرزمینی پایین آمده و زون‌های سولفیدی بخش زیرین در معرض واکنش با محلول‌های هوازده کننده اکسیدان قرار گیرد و در عین حال فرسایش قابل ملاحظه‌ای را متحمل نشوند. اکسیداسیون سولفیدهای آهن معمولاً باعث تشکیل اکسیدهای آهن و اسید سولفوریک می‌شود. پیریت در این فرایند نقش مهمی دارد و در محیطی که اکسیژن به عنوان اکسید کننده عمل کند طبق واکنش ۳ اکسید می‌شود:



از نمونه‌های کانسنگ مغنتیتی توبیه‌دروار در جدول ۲ آورده شده است.

جدول ۲: نتایج شیمیایی کانسنگ، سنگ میزبان و توده نفوذی منطقه توبیه دروار با استفاده از روش X.R.F

sample	Host1	Host2	Host3	Host4	G1	G2	G3	Ore1	Ore3	Ore2	Ore4	Ore5
%												
SiO ₂	۰/۷۳	۲/۳۰	۴/۷۵	۳/۷۳	۴۶/۸۵	۶۱/۵۳	۵۷/۲۵	۱/۱۹	۵/۶۷	۱۰/۲۵	۲/۳۲	۲۵/۷۳
Al ₂ O ₃	۰/۱۹	۰/۶۸	۱/۱۱	۱/۴۴	۱۳/۳۵	۱۶/۶۸	۲۱/۲۴	۰/۲۴	۰/۸۲	۰/۳۵	۰/۵۹	۲۴/۰۲
Fe ₂ O ₃	۱/۴۲	۶/۳۵	۰/۷۳	۱۳/۱۳	۱۴/۵۷	۳/۷۲	۲/۸۶	۸۸/۲۴	۵۸/۰۲	۶۸/۹۵	۵۸/۲۸	۳۴/۱۴
CaO	۳۵/۲۶	۳۷/۲۹	۵۰/۶۵	۳۰/۸۵	۵/۱۲	۲/۶۴	۰/۱۴	۴/۰۷	۱۸/۷۵	۰/۷۶	۱۵/۵۶	۱/۰۳
Na ₂ O	۰/۰۳	۰/۰۲	۰/۰۲	۰/۰۴	۰/۹۵	۰/۸۸	۰/۱۶	۰/۰۲	۰/۰۱	۰/۲۰	۰/۰۰	۰/۰۰
K ₂ O	۰/۰۹	۰/۲۴	۰/۰۱	۰/۶۱	۳/۵۸	۷/۸۶	۱۰/۹۵	۰/۰۵	۰/۱۵	۰/۲۳	۰/۰۰	۰/۲۷
MgO	۱۷/۳۲	۹/۶۵	۰/۴۰	۸/۹۶	۳/۴۲	۱/۷۶	۱/۸۵	۰/۱۲	۱/۵۱	۰/۰۰	۳/۱۹	۰/۰۰
TiO ₂	۰/۰۳۲	۰/۰۹۷	۰/۰۶۸	۰/۱۶۷	۱/۸۹۵	۰/۷۹۷	۰/۸۲۶	۰/۰۱۶	۰/۲۵۷	۰/۹۱۷	۰/۹۳	۰/۹۴
MnO	۰/۰۵۵	۰/۱۵۳	۰/۰۲۰	۰/۱۹۷	۰/۰۸۳	۰/۰۲۰	۰/۰۰۱	۰/۰۳۵	۰/۰۶۲	۰/۹۹۴	۰/۱۲	۰/۰۶
P ₂ O ₅	۰/۰۴۲	۰/۱۲۲	۰/۰۸۸	۰/۴۹۰	۰/۱۴۸	۰/۱۱۰	۰/۰۶۶	۲/۲۹۴	۰/۷۸۳	۰/۷۶۳	۰/۰۰	۰/۰۶
SO ₃	۰/۰۰۱	۰/۰۰۲	۰/۰۰۵	۰/۰۰۱	۰/۰۰۱	۰/۰۰۲	۰/۳۵۸	۰/۲۰۵	۰/۰۰۲	۴/۲۹۳	۰/۱۱	۰/۳۳
L.O.I	۴۴/۳۵	۴۲/۸۵	۴۱/۲۵	۴۰/۱۲	۹/۶۶	۳/۴۷	۳/۹۴	۳/۱۴	۱۳/۵۹	۱۱/۰۱	۱۷/۷۴	۹/۱۷
Ppm												
Cl	۲۷۷	۱۲۸	۱۹۷	۱۱۶	۳۱۱	۵۶۶	۳۲۵	۱۵۹	۱۰۷	۱۲۹	۱	۰/۰۶
Ba	۸	۲۹	۸	۱۷	۱۴۳	۲۲۲	۲۳۲	۱۱۱۸	۸۶۲	۹۶۵	۱	۱۰۰
Sr	۷۳	۱۰۵	۷۱۳	۷۰	۷۵	۱۰۸	۱۴۳	۲۱	۵۶	۸۶	۱	۲۵۰۰
Cu	۸	۱۴	۱۵۰	۱۱	۱۶	۱۰	۲۸	۱۹	۷	۱۴	۱۷	۱۲
Zn	۱۳۵	۲۹	۷	۲۶	۳۰	۸	۳۳	۱۲	۱۲	۲۵	۱۰	۲۲
Pb	۳۶	۱۳	۱۲	۱۰۵	۹	۳	۱۴۲۱	۱۶	۲	۹	۴	۱۲
Ni	۳۰	۳۶	۳۱	۴۷	۸۱	۷۰	۵۰	۵۳	۲۲	۸۸	۸۲	۳۳
Cr	۸	۵	۴	۳	۲۰۵	۶۲	۸۵	۵۶	۲۴	۸۰	۴۹	۳
V	۱۴	۲۵	۱۳	۲۸	۳۰۳	۱۲۷	۱۶۶	۹۷۷	۵۶۳	۱۳۶۷	۲۰۰۰	۸۵۴
Ce	۱۷	۳۱	۲۸	۴۵	۵۹	۷۸	۱۱۶	۷۷۴	۵۰۷	۵۸۷	۶۳۴	۷۳۵
La	۱۱	۱۵	۱۵	۲۷	۲۱	۳۴	۴۱	۲۰۱	۲۸۲	۱۲۴	۲۱۵	۲۱
W	۲	۲	۱	۱	۳	۱	۳	۱	۱	۲	۲	۱
Zr	۳۱	۳۳	۱۰۲	۳۶	۱۰۱	۱۶۰	۱۷۲	۶	۱۲	۱۴	۸	۱۵
Y	۱	۱۰	۳	۱۱	۳۸	۶۱	۵۵	۲۴	۲۳	۳۵	۲۰	۱۴
Rb	۱۲	۱۸	۱۷	۲۳	۱۰۴	۱۷۵	۱۶۹	۱۶	۱۵	۱۵	۱۲	۱۵
Co	۵	۴	۱۳	۳	۲۵	۷	۵	۲	۴	۲	۲	۴
As	۴	۶	۲	۱۲۶	۲۷	۴	۱۲۵	۱۴۰	۱۰۳	۱۰۸	۱۱۰	۱۴۱
U	۱	۱	۱	۱	۱	۱	۱	۱	۱	۱	۱	۱
Th	۱	۱	۲	۱	۳	۲	۸	۳	۳	۴	۳	۲
Mo	۷	۲	۵	۳	۱	۱	۱	۳	۲	۴	۳	۱
Ga	۶	۴	۳	۱۰	۱۵	۲۰	۴۷	۵۸	۸	۵۹	۵۵	۱۸
Nb	۱	۱	۱	۱	۱	۱	۱	۱	۱	۱	۱	۱

در قسمت‌هایی از زون آهن‌دار، مقدار SiO_2 در کانسنگ‌ها با افزایش عیار آهن کاهش می‌یابد. این روند معکوس نشان دهنده شرایط تبلور مگنتیت از ماقما، حذف آهن از ماقما و وارد شدن آن به فاز سیال تأثیری است. در نتیجه ماقما از آهن تهی شده است. به بیان دیگر، فازهای سیلیسی و آهن-دار به صورت فازهای جداگانه عمل نموده و هر کدام تشکیل ترکیبات مستقلی از جمله آهن و سیلیس ثانویه را داده‌اند. چنین فرضیه‌ای با مشاهدات صحرایی که اثبات کننده حضور رگه‌ها و ریز رگه‌های سیلیسی در کانسنگ می‌باشد، قابل تأیید می‌باشد. با توجه به بررسی تغییرات اکسیدهای عناصر اصلی در کانسنگ‌های آهن مورد مطالعه گفتنی است که بالاترین مقدار اکسید آهن در کانسنگ برابر با $88/24$ درصد وزنی می‌باشد و کمترین مقدار آن نیز برابر با $34/14$ درصد وزنی می‌باشد و تغییرات SiO_2 دارای بیشترین مقدار برابر با $10/25$ درصد وزنی می‌باشد (جدول ۲). ضریب همبستگی $r = -0/10$ در مقابل Fe_2O_3 می‌باشد. آلومینیم دارای شعاع یونی کوچک، الکترونگاتیویته کم و پتانسیل یونی پایین است. ارزی پیوند آن از Fe^{3+} بیشتر است و اغلب ویژگی‌های آن به جز الکترونگاتیویته با Fe^{2+} متفاوت است. به همین دلیل این عنصر در مقادیر اندک وارد ساختمان مگنتیت می‌شود. حضور بسیار اندک این عنصر همراه با مگنتیت در نمونه‌های کانسنگ مورد مطالعه احتمالاً نشان دهنده حضور فازهایی از کانهای آلومینیم‌دار می‌باشد. از آنجاییکه TiO_2 و Al_2O_3 غالباً از مواد آواری-تخربی مشتق می‌شوند و در کل مقدار مجموع $\text{Al}_2\text{O}_3 + \text{TiO}_2$ در مواد تخریبی بالا است (کاتو و همکاران، ۲۰۰۲). مجموع مقادیر TiO_2 و Al_2O_3 نشان می‌دهد که منشأ کانسنگ‌های آهن

مطالعات آماری دو متغیره (ضریب همبستگی اسپیرمن): یک روش معروف برای محاسبه همبستگی بین داده‌ها، روش اسپیرمن می‌باشد. ضریب همبستگی رتبه‌ای اسپیرمن با R نشان داده می‌شود و از رابطه ۱ محاسبه می‌شود (رولینسون، ۱۹۹۳):

$$R = 1 - [6D^2/n(n^2-1)]$$

در فرمول مذکور D معادل اختلاف رتبه مقادیر فراوانی Y/X و n تعداد عناصر زوج می‌باشد. در این مطالعه، جهت بررسی عناصر همراه و فرایندهای ژئوشیمیایی حاکم در تشکیل زون‌های کانی‌سازی شده، مبادرت به محاسبه ضرایب همبستگی رتبه‌ای اسپیرمن (Spearman's rank correlation) برای تمامی زوج عناصری که غلظت آن‌ها قابل توجه و معنadar می‌باشد، با استفاده از نرم افزار SPSS (statistical pocketprogram) گردید. بدین جهت برای بدست آوردن ماتریس همبستگی، داده‌های نرمال و داده‌های خام را به محیط نرم افزار SPSS انتقال داده و در آنجا ضرائب همبستگی، سطوح معنی دار بودن و تعداد نمونه‌هایی که در ضریب همبستگی فوق شرکت نموده‌اند به روش اسپیرمن که حساس به داده‌های نرمال می‌باشد مورد محاسبه قرار گرفت.

بررسی ضریب همبستگی و روابط عناصر اصلی تشکیل دهنده کانسار: به طور کلی در بین کانسنگ‌های آهن منطقه همبستگی‌های جالب توجهی بین عناصر اصلی وجود دارد. متوسط غلظت Fe_2O_3 در نمونه‌های مگنتیتی کانسار آهن توبیه دروار $57/32$ درصد وزنی می‌باشد. مقادیر اکسید آهن در کانسنگ‌های مورد مطالعه شده $34/14$ تا $88/24$ درصد وزنی متغیر بوده و میزان SiO_2 در کانسنگ‌های آهن به طور میانگین $4/63$ درصد وزنی می‌باشد. SiO_2 دارای همبستگی منفی با Fe_2O_3 ($r = -0/20$) می‌باشد.

مطالعه ۱۳/۹۹ wt% می‌باشد با افزایش اکسید کلسیم مقدار آهن کاهش می‌یابد. مقادیر P_2O_5 -دارای همبستگی معنادار با Fe_2O_3 (r=+۰/۹) می‌باشد که احتمالاً به دلیل همراهی کانسنگ‌های مورد مطالعه با آپاتیت می‌باشد.

LOI دارای همبستگی شدیداً منفی و معنادار با Fe_2O_3 (r=-۰/۸) داشته که این همبستگی منفی نشان دهنده این است که با افزایش مقادیر کانی‌های آهن در کانسنگ‌ها از میزان کانی‌های آبدار و فرار نظیر سیلیکات‌ها کاسته می‌شود. همچنین نشان دهنده شسته شدن بعضی از عناصر متحرک و غنی شدن عناصر غیر متحرک می‌باشد، یعنی در هر نمونه‌ای که اثرات هوازدگی و شستشوی عناصر بیشتر باشد مقدار آهن آن کاهش یافته است. به همین دلیل بعضی عناصر غیرمتحرک همبستگی منفی با آهن نشان می‌دهند. از خصوصیات کانسار آهن تویه دروار بالا بودن مقدار فسفر کانسنگ و پایین بودن مقدار گوگرد می‌باشد و مقدار متوسط اکسید فسفر در نتایج تجزیه‌های شیمیایی معدن ۱/۳۳ درصد است.

بررسی ضریب همبستگی و روابط عناصر کمیاب (High-Field Strength Elements) HFSE

(عناصر با قدرت پایداری بالا)

عناصر HFSE می‌توانند توسط محلولهای مختلف انتقال یابند و تحرک HFSE توسط تعدادی فاکتور مانند فشار، درجه حرارت، pH و شیمی محلول کنترل می‌شود. ضریب همبستگی مشبت و نسبتاً ضعیف بین Ti و Al (r=+۰/۲۰) همراهی کانی‌های این عناصر را با هم نشان می‌دهد. همبستگی‌های منفی و ضعیف تا متوسط بین Ga با Al (r=-۰/۶۰) موید این مهم است که کانی‌های سیلیکاتی نقشی در ثبت Ga در سیستم ایفا ننموده‌اند. Zr دارای همبستگی بیشتری با عناصر نادر خاکی سنگین نسبت به عناصر نادر خاکی سبک می‌باشد که این تفاوت و تهی شدگی

مورد مطالعه تویه دروار، آواری نمی‌باشد. زیرا بر اساس نظریه کاتو و همکاران (کاتو و همکاران، ۲۰۰۲)، مقدار مجموع $Al_2O_3+TiO_2$ می‌تواند تا درصد وزنی حضور داشته باشد. اما با توجه به آنالیزهای شیمیایی، میانگین مقدار $Al_2O_3+TiO_2$ در کانسنگ‌های آهن مورد مطالعه کمتر از ۲ درصد وزنی بوده و در حدود ۱/۱۳ درصد وزنی می‌باشد (جدول ۲). بنابراین با توجه به مطالب مطروحه فوق، نمی‌توان نقشی را برای مواد تخریبی در تأمین بخشی از مواد سازنده کانسنگ‌های آهن قائل شد.

همبستگی‌های منفی Fe_2O_3 با MgO (r=-۰/۸۰) نشان می‌دهد که با پیشرفت فرآیند آهن‌زایی، عناصری نظیر Mg و Ca به صورت محلول از Fe_2O_3 محیط خارج شده‌اند. همبستگی‌های منفی CaO با CaO (r=-۰/۸۰) نشان می‌دهد که در بیشتر نمونه‌های کانسنگ مورد مطالعه هنگامی که میزان Fe افزایش می‌یابد، به صورت مقایسه‌ای مقدار کلسیم کاهش می‌یابد. اندازه و ویژگی‌های کلسیم با Fe^{3+} و Fe^{2+} متفاوت است و از این رو انتظار نمی‌رود که این عنصر بتواند به مقدار قابل توجهی وارد شبکه مگنتیت گردد اما جانشینی Ca^{2+} به جای Fe^{2+} در ساختمان مگنتیت امکان پذیر است و کانی مگنتیت می‌تواند حداکثر تا ۶/۶۷٪ در ترکیب خود دارای عنصر Ca^{2+} باشد (دیتتر و همکاران، ۱۹۷۷). با این شرایط و با توجه به مطالعات مقاطع نازک - سیقلی، همراهی سیلیکات‌ها با کانی‌زایی آهن در کانسنگ مورد مطالعه امکان‌پذیر می‌باشد. کاستور و نیسون (۲۰۰۷)، کانسنگ‌های مگنتیتی سرشار از کلسیم را در بخشی از ذخیره Bayan Obo شناسایی کردند و آن‌ها را کانسنگ مگنتیت - دولومیت نامیدند. میانگین CaO در این کانسنگ‌ها ۱۷/۶٪ و میانگین CaO در کانسنگ‌های مورد

تفريق ماغمايی متمرکز می‌شود. در ذخایر آهن ماغمايی عيار بسيار کمی از مس گزارش شده است. درصد ميانگين مس در نمونه‌های تجزيه شده به روش XRF ۱۲/۷۵ ppm و تغييرات آن از كمترین آن ۷ ppm تا ۱۹ ppm که بيشترین مقدار آن است، می‌باشد. هيترمن و همكاران (۱۹۹۲) معتقدند از آنجا که کانسارهای اكسيدآهن-مس- طلا ارتباط نزدیکی با ذخایر آهن گرمابی در سراسر دنيا دارند، اين ذخایر در ادامه روند تشکيل کانسارهای ماغمايی ايجاد می‌شوند از اين رو منطقی است که کانسارهای ماغمايی دارای مقادير مس كمتری باشند. دامنه تغييرات روی در نمونه های مورد مطالعه بين ۱۲ ppm تا ۲۶ ppm می‌باشد. با مقاييسه درصدهای اين دو عنصر می‌توان نتيجه گرفت که مقدار روی بيشتر از مس است که قاعدهاً اين دو عنصر در فازهای سولفیدی همچون كالکوپيريت و اسفالريت تمرکز دارند. ضريب همبستگی $r = -0.63$ با Zn و Fe_2O_3 می‌باشد و ضريب همبستگی $r = 0.80$ با Cu می‌باشد. همبستگی منفی کروم با آهن ($r = -0.73$) می‌تواند از خصلت ماغمايی آهن نشأت گرفته باشد (فریتج و پنداهل، ۱۹۹۵). مقدار متوسط کبات در نمونه‌های مورد مطالعه ۲/۷۵ ppm می‌باشد و بيشترین مقدار کبات مربوط به کانسارهای کنتاكت پنوماتوليتي می‌باشد که به ۵۰۰ ppm می‌رسد. محتواي اين عنصر در کانسار آهن تویه دروار به کانسارهای آهن آپاتيت- دار شمال سوئد شبه است بيشتری دارد. ضريب همبستگی $r = -0.73$ با Co می‌باشد. ميزان کبات به دليل محدود بودن فاز سولفیدي در کانسنگ پايين است.

بررسی منشاً تشکیل ذخیره آهن تویه دروار توسط زمین شیمی عناصر جزئی: مقایسه عیار عناصر واسطه به دليل رفتار شیمیایی آنها و روابط آنها

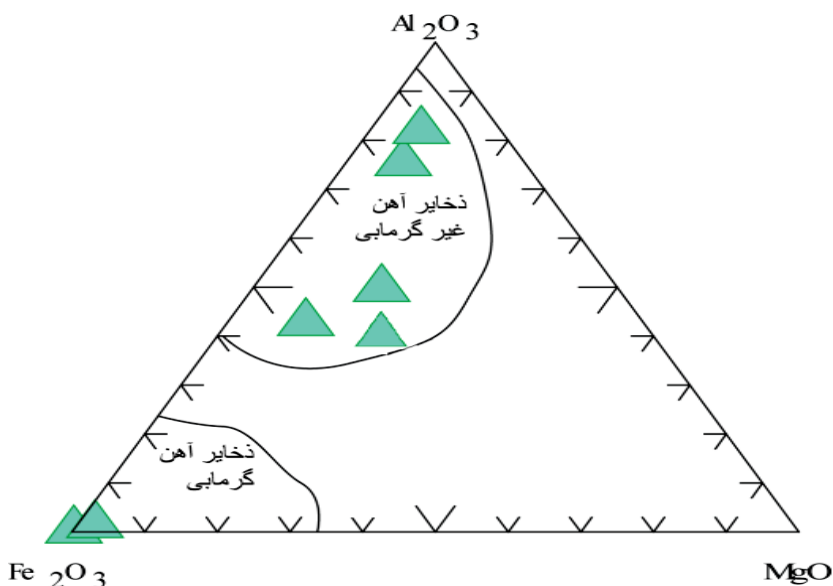
عناصر نادر خاکی سبک از زيرکن نسبت به عناصر نادر خاکی سنگين به دليل تحمل باقی ماندن عناصر نادر خاکی سنگين تا درجات بالاي دگرگونی (حتى تا حد رخساره گرانوليت) می‌باشد. همبستگی مثبت و نسبتاً ضعيف بين Ga با $\text{Ti} (r = 0.20)$ نشان می‌دهد که کانی‌های تیتانیوم- دار تا حدودی نقش مؤثری در تمرکز Ga در کانسنگ تویه دروار داشته‌اند. با توجه به همبستگی مثبت و قوي بين Y و $\text{P} (r = 0.80)$ به نظر می‌رسد که مقادير بالاي فسفر عنصری تا حدودی نقش مهمی در ثبيت Y در سیستم ايفا نموده‌اند.

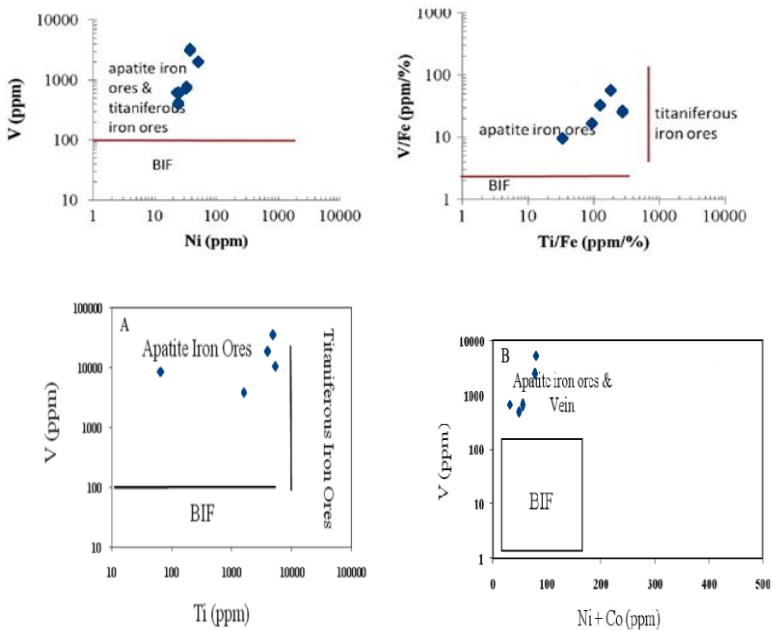
عناصر با خاصیت جزئی واسطه (Trace- transition elements TTE)

این عناصر شامل V^{3+} , Cr , Cu , Ni , V , Zn , Ag می‌باشند (جنر، ۱۹۹۶؛ کاپلی، ۲۰۱۰). به راحتی می‌تواند جايگزین Fe^{3+} در شبکه کانی‌های هماتیت و گوتیت شود (يوسفی، ۱۳۸۹). همبستگی مثبت و متوسط معنadar بين V با $\text{Ti} (r = 0.40)$ دلالت بر نقش ضعيف کانی‌های Ti در ثبيت V در کانسنگ تویه دروار دارد. Ni می‌تواند قویاً بوسیله اكسيدها و هیدروکسیدها جذب سطحی (Scavenging) شود که اين جذب وابسته به pH بوده و در شرایط pH پایین (محیط اسیدی) ضعیفتر است و در pH بالاتر جذب بیشتر صورت می‌گیرد (مکنزی، ۱۹۸۰؛ اسپارکز، ۱۹۹۵). همبستگی مثبت بين Fe با $\text{Ni} (r = 0.60)$ دلالت بر نقش Fe در تمرکز Ni دارد. مقدار Ni با افزایش عیار آهن افزایش می‌يابد. تطابق مثبت آهن و نيكل در کانسارهای آهن ماغمايی يك شرایط لازم است. شعاع یونی عنصر مس بسيار شبیه به شعاع یونی Fe^{2+} می‌باشد. الکترونگاتیویته و پتانسیل یونی مس بالاتر از Fe^{2+} می‌باشد. بنابراین مس در مقایسه با آهن در فازهای نهايی

نیکل (۵۵ppm)، کبالت (۲/۷۵ppm) و کروم (۴۰/۷۵ppm) در کانسنگ پایین می‌باشد. عدم حضور کانی‌هایی نظیر کبالتیت، سافلوریت دانیت و مولیبدنیت در این نهشته‌ها نشانگر آن است که عناصر کبالت، نیکل و مولیبدن به علت شباهت یونی با آهن وارد شبکه مگنتیت شده‌اند. تا به حال مطالعات زیادی با استفاده از نمودار مثلثی Fe_2O_3 - Al_2O_3 - MgO (باجوا و همکاران، ۱۹۸۷) در کانسارها به منظور تعیین منشأ آن‌ها صورت گرفته است. شکل ۷ موقعیت نمونه‌های منطقه تویه‌دروار در نمودارهای مثلثی Fe_2O_3 - Al_2O_3 - MgO را نشان می‌دهد. همچنین با بررسی نتایج آنالیز سنگ کل ماده معدنی و تصویر آن‌ها در نمودار ارائه شده توسط لوبرگ و هورندال (۱۹۸۳)، می‌توان گفت ماده معدنی مورد مطالعه به کانسارهای نوع ماقمایی تعلق دارد (شکل ۸).

با بعضی عناصر در کانسارهای مختلف آهن، راهکاری مناسب جهت بررسی منشأ یک ذخیره آهن می‌تواند به شمار آید (نیسترم و هنریکوئیز، ۱۹۹۴). عناصر کبالت، نیکل و وانادیم به عنوان کانیون‌های غیرمتحرک در کانسار ماگمایی بیشتر از کانسار گرمابی گزارش شده‌اند. از بین این عناصر وانادیم شدیداً در تیپ‌های ماگمایی غنی‌شده‌گی نشان می‌دهد. V^{3+} از نظر شعاع یونی بسیار شبیه به Fe^{3+} می‌باشد و الکترونگاتیویته و پتانسیل یونی آن از Fe^{3+} بیشتر است. بنابراین این عنصر بیشتر جانشین Fe^{3+} در ساختمان مگنتیت می‌شود. وانادیم در کانسنگ مگنتیت ماقمایی ppm ۱۸۵۰ تا ۲۰۰۰ گزارش شده است. وانادیم در بعضی از ذخایر گرمابی آهن شیلی (کمریند آهن) ppm ۶۰۰۰ غنیز گزارش شده است (نیسترم و هنریکوئیز، ۱۹۹۴). با این حال وانادیم در کانسنگ‌های مورد مطالعه بیشترین شباهت را به معن ماقمایی دارد. میزان عناصر ماگما دوست

شکل ۷: نمودار مثلثی Fe_2O_3 - Al_2O_3 - MgO



شکل ۸: ماده معدنی تصویر شده در نمودارهای لوبرگ و هورندال (۱۹۸۳)

بررسی ضریب همبستگی و روابط عناصر جزئی: پس از بررسی و مطالعه همبستگی رتبه‌ای اسپیرمن محرز شد که عناصر نادر خاکی با عناصر جزئی و اصلی همبستگی در خور توجهی داشته که احتمالاً نشان دهنده منشأ مشترک بین این عناصر با هم باشد.

ژئوشیمی عناصر فرعی: جهت بررسی بیشتر و جدا کردن کانسارها نسبت دوتایی عناصر کمیاب ارزیابی می‌شود. این نسبت‌ها عبارتند از: Ni/V , Co/V , Cr/V , Co/Ti , Zn/V مقایسه رفتار عناصر کمیاب در کانسار تویه دروار با کانسارهای ماقمایی، اسکارنی و آتشفسانی-رسوبی از نتایج تجزیه‌های شیمیایی فریتچ و پنداهل (۱۹۹۵) استفاده شده است. جدول ۳ نسبت‌های دوتایی این عناصر را در کانسار تویه دروار نشان می‌دهد.

بررسی ضریب همبستگی و روابط عناصر جزئی: پس از بررسی و مطالعه همبستگی رتبه‌ای اسپیرمن محرز شد که عناصر نادر خاکی با عناصر جزئی و اصلی همبستگی در خور توجهی داشته که احتمالاً نشان دهنده منشأ مشترک بین این عناصر با LREEE ها می‌باشد. Ce^{3+} در محیط های اکسیدی می‌توانند به راحتی به Ce^{4+} اکسید شده و با کاهش شعاع توسط هیدرولیزات ها و ذرات معلق، جذب سطحی و حمل شود و با در حضور لیگاندهای کربناتی از محیط خارج شود عنصر Ce در الگوی به هنجار شده عناصر، آنومالی مثبت قوی از خود نشان می‌دهد که انعکاسی از شرایط اکسیداسیون کانسار می‌باشد (اسپانگبرگ و همکاران، ۱۹۹۹). همبستگی مثبت و معنادار Th با Ce با احتمالاً $(r=0.63)$ می‌تواند بیانگر حضور کانی تورباتنایزیت

جدول ۳: نسبت‌های دوتایی عناصر کانسار آهن تویه دروار

Sample	N1	N2	N3	N4
Co/Ni	۰/۰۳	۰/۰۲	۰/۱۲	۰/۰۶
Co/V	۰/۰۰۲	۰/۰۰۱	۰/۰۰۷	۰/۱۰
Cr/V	۰/۰۵۷	۰/۰۵۸	۰/۰۴۲	۰/۱۰
Zn/V	۰/۰۱۲	۰/۰۱۸	۰/۰۲۱	۰/۹۲
Ti/V	۰/۰۵۱	۳/۹۵	۲/۴۸	۲/۷۴

کمترین میزان کلسیم مربوط به توده معدنی می‌باشد. بنابراین واحدهای آهکی و آهک فسیل‌دار منطقه کمترین میزان واکنش پذیری را با سیالات داشته‌اند و کمترین میزان کلسیم نشان می‌دهد که در محل کانسنج بیشترین واکنش پذیری با سیالات صورت گرفته است (شکل ۹ و ۱۰). همچنین می‌توان نتیجه گرفت که سنگ میزان کانی‌سازی به دلیل بالا بودن کلسیم و پایین بودن منیزیم از نوع کلسیتی است که بررسی مقاطع میکروسکوپی این موضوع را تأیید می‌نماید.

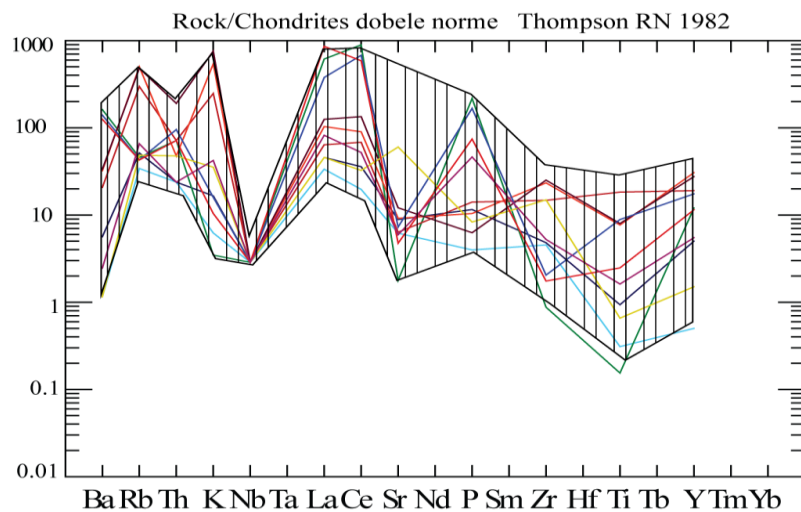
بررسی شیمی بلور کانه مگنتیت و کانه پیریت کانسنج: نمونه‌های جداسازی شده از کانسار آهن تویه‌دروار از نظر عناصر کمیاب مانند $\text{Ni}, \text{Cr}, \text{V}, \text{Ti}, \text{Cu}, \text{Co}$ و P مورد بررسی قرار گرفت (جدول ۴، ۵). میزان تمرکز برخی از این عناصر در کانسنج به منظور شناخت منشأ و ماهیت فلزات کانسارساز نقش مهمی دارد. نتایج حاصل از آنالیز میکروپرپوشش می‌داند. نتایج آنالیز از آنالیز Fe_2O_3 این کانی بین ۹۴-۹۴/۲۷ درصد وزنی متغیر می‌باشد. این آنالیز منجر به شناسایی عنصر Ni گردید. عدم حضور کانی‌هایی نظیر سافلوریت و دانیت نشانگر آن است که Ni به علت شباهت یونی با آهن وارد شبکه مگنتیت شده و بنابراین می‌توان نتیجه گرفت کانی میزان این عنصر همان کانی‌های

میانگین Co/Ni در کانسار تویه دروار برابر ۰/۰۵۷ است. متوسط این نسبت در کانسارهای آهن آپاتیت‌دار و اسکارن کمتر از یک است و در اسکارن مصر به ۰/۶ می‌رسد. در ذخیره مورد Cr/V مطالعه میانگین ۰/۰۵۵ است. نسبت Cr/V در اغلب ذخایر آهن ماقمایی و رسوبی کمتر از ۱/۱ و در ذخایر آهن گرمابی این نسبت بالاتر از ۱ می‌باشد. این نسبت در ذخیره تویه دروار به ذخایر ماقمایی بیشترین شباهت را نشان می‌دهد. متوسط نسبت ۰/۰۵۷/Co و مشابه کانسنج‌های ماقمایی و متاسوماتیزم است. میانگین Ti/V در نمونه‌های آنالیز شده برابر ۲/۳ است. بر اساس نتایج فربیتج و پنداهل (۱۹۹۵) مقدار V در کانسنج آهن آپاتیتی ماقمایی ۳/۳-۱/۲ و در کانسنج آتشفشنای-رسوبی و تیپ هاوکی به ترتیب برابر ۳/۶ و ۱/۴ است. نسبت میانگین Zn/V در نمونه‌های کانسنج تویه‌دروار ۰/۰۲۵ است. این نسبت در کانسارهای آهن ماقمایی، کانسارهای آتشفشنای-رسوبی و متاسوماتیکی پایین‌تر و کمتر از ۱/۰ است.

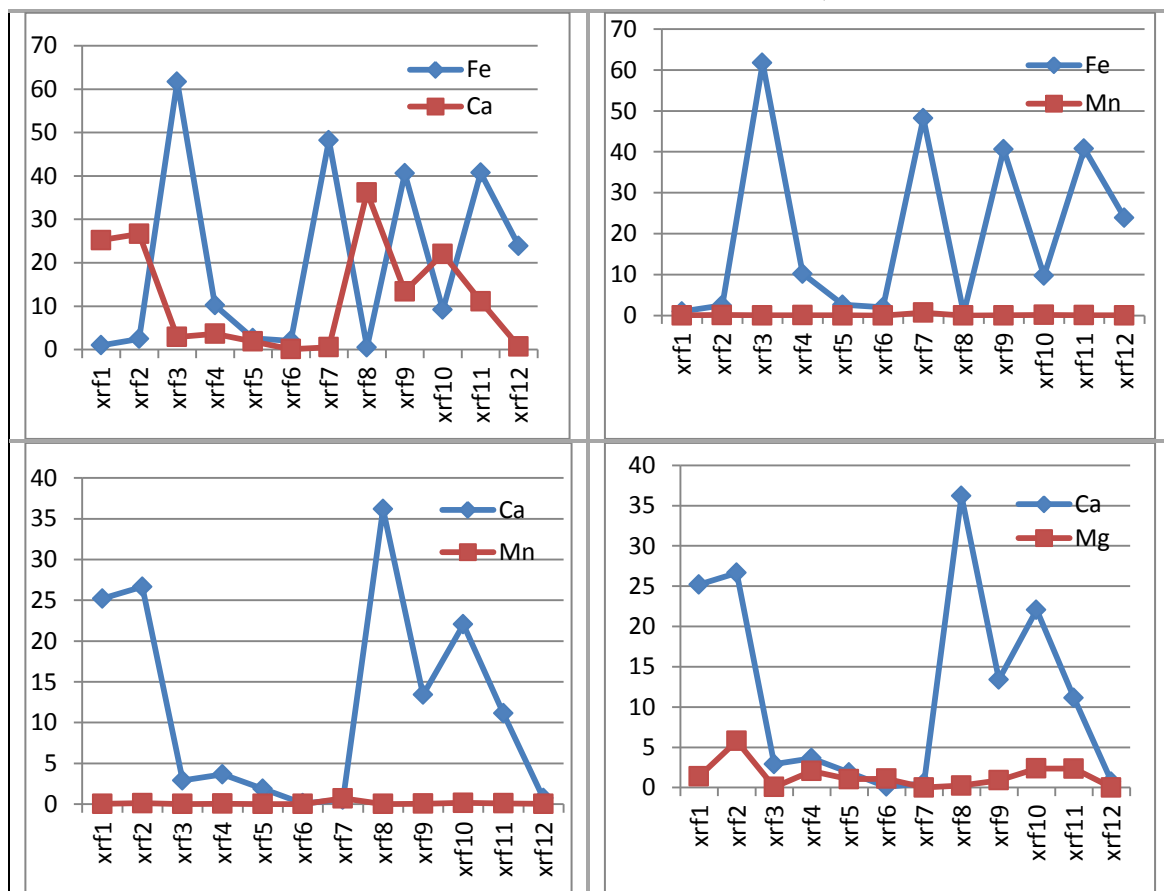
بررسی میزان واکنش پذیری سنگ میزان نسبت به سیالات کانه‌دار: به منظور بررسی میزان واکنش پذیری سنگ میزان نسبت به سیالات کانه‌دار نمودارهای مقادیر عناصر Mn, Fe, Mg در مقابل ترسیم گردید. بررسی این نمودارها نشان می‌دهد که بیشترین میزان کلسیم، مربوط به واحدهای آهکی و آهک فسیل‌دار منطقه بوده و

آهن دار منطقه هستند و می‌توان از آن به عنوان

یک رابطه ژئوشیمیابی خاص نام برد.



شکل ۹: نمودار چند عنصری در کانسار تویه دروار نرمالیزه شده نسبت به کندریت



شکل ۱۰: نمایش مقادیر عناصر Fe, Mg, Mn, Ca در نمونه‌های سنگی

جدول ۴: نتایج آنالیز میکروپرپوپ از کانی مگنتیت بر حسب درصد

Sample(Mag)	۱	۲	۳
MgO	۰/۸۹	۱/۰۷	۱/۰۴
Al ₂ O ₃	۰/۱۴	۰/۰۹	۰/۰۹
SiO ₂	۳/۳۶	۳/۹۵	۴/۳۳
SO ₃	۰/۲۹	۰/۲۸	۰/۳۳
K ₂ O	۰/۰۱	۰/۰۱	۰/۰۲
CaO	۰/۲۶	۰/۹	۰/۱۷
Fe ₂ O ₃	۹۴/۹۷	۹۴/۲۷	۹۴/۰۰
NiO	۰/۰۸	۰/۰۹	-
P ₂ O ₅	-	-	۰/۰۳

جدول ۵: نتایج آنالیز میکروپرپوپ از کانی پیریت بر حسب درصد

Sample(Py)	۱	۲	۳
MgO	۲/۲۹	۰/۲۵	۰/۴۵
Al ₂ O ₃	۰/۷۷	۰/۴۴	۰/۳۱
SiO ₂	۱۷/۶۲	۱۶/۴۲	۳/۲۸
P ₂ O ₅	۰/۰۳	۰/۱۷	-
S	۳۰/۱۷	۴۵/۰۴	۴۹/۶۰
CaO	۶/۹۵	۰/۲۲	۱/۳۱
Fe	۴۲/۰۸	۳۶/۲۷	۴۳/۹۵
NiO	۰/۰۷	۰/۰۹	-
Na ₂ O	-	۰/۵۵	-
Cr ₂ O ₃	-	۰/۰۶	-
K ₂ O	-	-	۰/۰۴

می‌دهد که بخش غالب نمونه مورد نظر از آهن و سولفور تشکیل شده است. تجزیه پیریت حاکی از مرکز اندک عنصر As در حدود ۰/۰۲ درصدوزنی، Cr در حدود ۰/۰۶ درصد وزنی و نیکل در حدود ۰/۰۸ درصد وزنی در شبکه این کانی است. در این مطالعه همراهی فاز آرسنوبیریت شناسایی گردید.

مقایسه میزان ذخیره تیتانیوم و وانادیوم کانسار آهن تویه دروار با چند کانسار تیتانومنیتیت در جهان: با توجه به مطالعات انجام شده در این کانسار و شباهت‌هایی که بین این کانسار با تیپ کانسارهای تیتانومنیتیت وجود دارد، جهت مطالعه بهتر بر روی این کانسار، مقایسه‌ای از لحاظ میزان

عيار عناصری مانند Ca, K, Al در داده‌های حاصل از آنالیز ناچیز می‌باشد. کانه‌نگاری و شیمی بلور کانسنگ آهن مگنتیتی تویه دروار نشان از تهی بودن عناصر Cr, Ti, Cu, Co در فاز منیتیت دارد و بیانگر آنست که این عناصر در فاز اولیه کانه‌زایی از سیال ماقمایی مشتق شده از توده، جدا شده و در فاز کانیایی به صورت عنصری تجمع یافته‌اند. در نتیجه می‌توان عنوان کرد که سیال مسئول کانی‌سازی، طی فرایندهای تفریق و تبلور توده آذربین، به صورت یک فاز سیال ماقمایی تشکیل و تزریق آن در درون سنگ‌های کربناتی باعث تشکیل کانسار شده است. نتایج حاصل از آنالیز الکترون میکروپرپوپ بر روی کانی پیریت نشان

این توده تنها به عیار وانادیوم گرفته شده در معدن کایرونا نزدیک می‌باشد. همانگونه که مشاهده می‌شود عیار وانادیوم در کانسار کاج کانار و سوالکی از عیار وانادیوم این توده بالاتر می‌باشد. بر اساس این مقایسه کانسار آهن تویه دروار بیشترین شباهت را به کانسارهای آهن ماقمایی (کایرونا) دارد.

عيارهای تیتانیوم و وانادیوم صورت پذیرفته است. اين کانسارها به ترتیب لیگانگا در تانزانیا، کاج کانار درروسیه، کایرونا درسوئد و سوالکی در لهستان می‌باشد. در جدول ۶ این مقایسه آورده شده است. بر اساس این جدول میزان عیار متوسط تیتانیوم کانسار آهن تویه دروار، نزدیک به پایین ترین عیار تیتانیوم گرفته شده در معدن کایرونا می‌باشد. میزان عیار متوسط وانادیوم در

جدول ۶ : مقایسه میزان پراکندگی عناصر وانادیوم و تیتانیوم در کانسار آهن تویه دروار با چند کانسار تیتانومنیتیت

نام کانسار	عيار متوسط آهن(٪)	عيار متوسط (٪)TiO ₂	عيار متوسط V2O ₅ (٪)
لیگانگا	۵۳-۶۱	۱۳	۰/۵-۱/۷
کاج کانار	۱۵-۱۷	۴/۲-۷/۲	۰/۳-۰/۵
کایرونا	۴۶/۵-۴۸/۳	۰/۴-۱/۴	۰/۲۳
سوالکی	۲۸	۷	۰/۳
تویه دروار	۵۷/۳۲	۰/۴۵	۰/۲۴

بحث و نتیجه‌گیری

مگنتیت کانی‌سازی داشته‌اند. روابط بافتی میان کانه‌های موجود در مقاطع صیقلی شامل مگنتیت، هماتیت و گوتیت، گویای تبدیل شدن‌های مختلف در شرایط مختلف محیطی از نظر دما، PH و EH است. بررسی شرایط دمایی و فوگاسیته اکسیژن دمای تشکیل کانی‌های منطقه را در محدوده کمتر از ۳۵۰ درجه معرفی می‌کند. بر اساس زمین شیمی کانسنگ‌های آهن، برخی محققان نمودارهایی را ارائه کرده‌اند که انواع مختلف کانسارهای آهن را از یکدیگر تمایز می‌کند. بر اساس مقادیر عناصر فرید (Fe,Ni,V,Ti) و نسبت‌های مذکور، کانسارهای آهن پرکامبرین سوئد را به سه گروه کانسارهای آهن ماقمایی تیتانیومدار، کانسارهای آهن ماقمایی آپاتیت‌دار و سازندهای آهن نواری تقسیم بندی کرده‌اند (نیستروم و هنریکوئیز، ۱۹۹۵). مبنای تقسیم بندی این نمودارها بر اساس تجزیه شیمیایی مگنتیت و هماتیت انواع کانسارهای اکسیدی آهن

کانسار آهن تویه دروار در شمال غرب شهرستان دامغان به همراه نهشته‌های کلسیت و سیلیس به شکل توده‌ای در سنگ میزبان کربناته با سن تریاک ایجاد شده است. حضور سنگ‌های غنی از آهن و منیزیم در مجاورت توده‌های آهن در محدوده معدنی نشانگر وجود یک سیستم ماگمایی بزرگتر در زیر منطقه مورد مطالعه می‌باشد که مرتبط با کانه‌زایی آهن است. کلسیت و سیلیس موجود در این کانسار با ساخت رگه‌ای و شکافه پرکن نشان دهنده آخرین مرحله فاز کانه‌زایی است. بررسی‌های ژئومتری و ساخت و بافت انجام شده، در مقیاس نمونه دستی و میکروسکوپی بر روی کانسنگ آهن بیانگر این مطلب است که توالی پاراژنزی و کانی‌زایی در کانسار، شامل کانی‌سازی مگنتیت و پیریت بوده و پس از آن کانی‌های سولفیدی چون کالکوپیریت، کوولیت، کانی‌های اکسیدی و کربناتی ناشی از هوازدگی در فضاهای خالی سنگ میزبان، باطله و

شود (لوبرگ و هورندهال، ۱۹۸۳). نمودارهایی که بر اساس مقادیر عناصر جزئی رسم شده‌اند و همچنین تحلیل پارامترهای محاسبه شده برای عناصر جزئی نشان می‌دهد که کانسار آهن تویه-دروار در محدوده کانسارهای ماقمایی قرار می‌گیرد. بر اساس مطالعات صحرایی، میکروسکوپی و زمین‌شیمیایی می‌توان گفت که تیپ کانسار آهن تویه‌دروار از نوع ماقمایی است و سیال مسئول کانی‌سازی، طی فرایندهای تفیریق و تبلور توده‌های آذرین، به صورت یک فاز سیال ماقمایی تشکیل و به درون سنگ‌های کربناتی تزریق شده و باعث تشکیل کانسار شده است.

می‌باشد. زیرا مگنتیت و هماتیت انواع نهشته‌های کانیایی یک سری تفاوت‌های ترکیبی را نشان می‌دهند که در ارتباط با نوع کانسار است و می‌تواند راهکاری مناسب برای ایجاد یک سری نمودارهای جدا کننده برای انواع مختلف کانه‌زایی به حساب آید. تجزیه شیمیایی مگنتیت‌های کانسارهای مختلف نشان می‌دهد که کانسارهای مگنتیت-آپاتیت نوع کایرونا نسبت به IOCG دارای مقادیر بالاتری از V و Ti هستند. کانسارهای مگنتیت-آپاتیت نوع کایرونا همچنین تمرکزهای نسبتاً پایینی از Mn و Al از خود نشان می‌دهند. Mn‌های کانسنگ‌های آهن آپاتیت‌دار به وسیله Cr بسیار پایین و محتوای بالای V مشخص می-

-خانعلیزاده، ع.، ۱۳۸۴. پترولوزی، ژئوشیمی و جایگاه تکتونیکی توده کوارتز مونزونیتی تویه دروار، جنوب غرب دامغان، پایان نامه کارشناسی ارشد، دانشگاه صنعتی شاهروド.
-نبوی، م. ح.، ۱۳۵۵. دیباچه‌ای بر زمین‌شناسی ایران، انتشارات سازمان زمین‌شناسی، ۴۵۸ ص.
-یوسفی، ت.، ۱۳۸۹. بررسی کانی‌شناسی و ژئوشیمی سنگ آهن قالوزندان، جنوب شرق مهاباد، پایان نامه کارشناسی ارشد گروه زمین‌شناسی دانشگاه ارومیه.

-Bajwah, Z.U., Secombe, P.K. and Offler, R., 1987. Trace element distribution, Co: Ni ratios and Genesis of the Big Cadiairon-copper deposit, New South Wales,Australia, Mineralium Deposita, v. 22, p. 292–300.
-Barton, M.D. and Johnson, D.A., 2000. Alternative brine sources for Fe-Oxide (- Cu-Au) Systems: Implications for hydrothermal alteration and metals, PGC Publishing, Adelaide, p.1-43-60.

منابع

- بابکی، آ.، ۱۳۸۳. بررسی الگوی کانسار سازی آهن در کانسار گل گهر سیرجان، کرمان، پایان نامه کارشناسی ارشد، دانشگاه شهید باهنر کرمان.
-پورخاک، ف.، ۱۳۸۲. پاراژنز، پتروژنز و پتروشیمی کانسار آهن گل گهر (آنومالی شماره ۳)، پایان نامه کارشناسی ارشد، دانشگاه شهید باهنر کرمان.
-جلیلی، ر. و طلایی، ب.، ۱۳۹۱. بررسی سنگ شناسی سنگ آهن رostتای تویه، نوزدهمین همایش بلورشناسی و کانی‌شناسی ایران.

-Castor, S.B. and Hedrick, J.B., 2006. Rare Earth Elements ,In: Kogel, J. E., Trivedi, N. C., Barker, J. M., and Krukowski, S. T. (eds.), Industrial Mineral Rocks, 7th edition: Society for Mining, Metallurgy, and Exploration., Littleton, Colorado, p.769-792.
-Craig, J.R. and Vaughan, D.J., 1994. Ore microscopy and ore petrography and tectonic evolution of Iran report 52, 626p.

- Corriveau, L., 1978. Natural Resources Canada, Geological Survey of Canada (-2000),
- Friestch, R., On the magmatic origin of iron ores of the Kiruna type, *Economic Geology*, v. 73(4), p.478-485.
- De Sitter, J., Govaert, A., De Grave, E., Chamaere, D. and Robrecht G., 1977. Mossbauer study of Ca^{2+} containing magnetites, *Physics Status Solidi*, v. 43, p. 619–624.
- Deer, W.A., Howie, R.A. and Zussman J.,1991. An introduction to rock formingminerals, London Longman, p. 528.
- Einaudi, M.T. and Burt, D.M., 1982.Terminology,classification& composition of skarn deposits, *Economic geology*,v. 77, p.745-754.
- Frietsch, F. and Perdahl, J.A., 1995. Rare earth elements in apatite and magnetite in Kiruna-type iron ores and some other iron ore types, *Ore Geology reviews*, v. 9, p.489–510.
- Jenner, G.A., 1996. Trace element geochemistry of igneous rocks: geochemical nomenclature and analytical geochemistry, In: Applications for Massive Sulfide Exploration Short Course Notes, Geological Association of Canada, p.12 – 51–77.
- Harlov, D.E., Andersson,U.B., Foerster, H., Nystrom, J.O., Dulski, P. and Broman,C., 2002. Apatite-monazite relation in the Kiirunavaara magnetite-apatite ore, Nother Sweden, *Chemical Geology*, v. 21, p.191-47-72.
- Hitzman, M.C., 2000. Iron Oxide-Cu-Au deposites: what, where,when and why, In hydrothermal iron oxide copper-gold and related deposits, A global Perspective, p. 1-9-25.
- Hitzman, M.W., Orekes, N. and Einaudi, M.T., 1992. Geological characteristics and tectonic setting of proterozoic Iron Oxide (Cu-U-Au-REE) deposits, *Precambrian research*, v. 58, p. 241-287.
- Kamei, G. and Ohmoto H., 2000. The Kinetics of reactions between Pyrite and O₂-bearting water revealed from in Situ measurements of DO,Eh and Ph in a closed system, *Geochemica et Cosmochimica Acta*, v. 64, p.2585-2601.
- Kato, Y., Nakao, K. and Isozaki, Y., 2002. Geochemistry of Late Permian to Early Triassic pelagic cherts from Southwest Japan, implications for an oceanic redox change, *Chemical Geology*, v. 182, p.15–34.
- Kupeli, S., 2010. Trace and rare earth element behavior during alteration and mineralization in the Attepe iron deposits (Fefe-Adana, southern Turkey), *Journal of Geochemical Exploration*, v. 105, p. 51–74.
- Lefebure, D.V.,1995. Iron Oxide Breccias and veins P-Cu-Au-U, in selected British Columbia, *Mineral Deposit Profiles*, v. 1, p. 33-36.
- Loberg, B. E. H. and Horndhal, A.K., 1983. Ferride geochemistry of Swedish Precambrian iron ores, *Mineralium Deposita*, v. 18, p. 3487-504.
- Mckenzie, R.M., 1980. The adsorption of Pb and other heavy metals on oxides of Mn and Fe, *Australian Journal of Soil Reviews*, v. 18, p. 61–73.
- Mucke, A. and Cabral A.R., 2005. Redox and nonredox reaction of magnetite and hematite in Rocks, *Chemie Erde*, v. 65, p.271-278.
- Naslund, H.R., Aginre, R., Dobbs, F.M., Henriquez , F.J. and Nystrom, J.O., 2000.The origin, emplacement and eruption of ore magmas, *Ninth Congreso Geologico Chileno Actas*, v. 2, p.135-139.
- Barton, M.D. and Johnson, D.A., 199. An evapoitic Source model for igneous-related Fe-Oxide (REE-Cu-Au-U) mineralization, *Geology*, v. 24, p.259-262.

- Nystrom, J.O. and Henriquez, F., 1995. Magmatic Features of Iron Ores of The Kiruna type in Chile and Sweden: Ore Textures and Magnetite Geochemistry, Economic Geology, v. 89, p. 820-839.
- Ohmoto, H., 2003. Nonredox transformations of magnetite, Hematite in hydrothermal systems, Economic Geology, v. 98, p. 157-167.
- Ramdohr, P., 1980. The ore Minerals and Their Intergrowth, Pergamon Press, 1207.
- Redman, P.W. and Reily, W., 1970. The Synthesis and Inversion of nonstoichiometric titanomagnetites Phys, Earth Planet, Inter, v. 4, p.121-128.
- Rollinson, H.R., 1993. Using geochemical data: evaluation, presentation, interpretation, Longman Publisher, 429 p.
- Spangeberg, J. E., Lavric, J. V., Alcala, C., Gosar, M., Dold, B. and Pfeifer, H.P., 1999. Inorganic and organic geochemical patterns of waste material from the Idrijan mercury mine (Slovenia): tracers of natural and anthropogenic chemicals, 5th Biennial SGA Meeting and 10th Quadrennial IAGOD Symposium London, England.
- Sparks D.L., 1995. Environmental soil chemistry, Academic Press, New York, 267 p.